

B. H. MASON

MEDDELANDEN FRÅN ÅBO AKADEMIS GEOLOGISK-  
MINERALOGISKA INSTITUT N:o 9

(AVTRYCK UR ACTA ACADEMIAE ABOENSIS. MATHEMATICA  
ET PHYSICA V.)

---

# DIE APATITE

DEREN CHEMISCHE ZUSAMMENSETZUNG UND IHR  
VERHÄLTNIS ZU DEN PHYSIKALISCHEN UND  
MORPHOLOGISCHEN EIGENSCHAFTEN

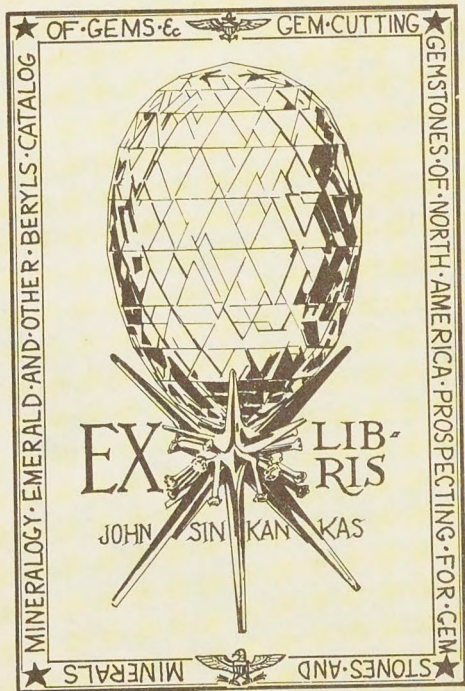
VON

*H. HAUSEN*

PROF. DER GEOLOGIE UND MINERALOGIE AN DER AKADEMIE ÅBO,  
FINNLAND

ÅBO AKADEMI







JSL  
RTL011598

ACTA ACADEMIAE ABOENSIS  
MATHEMATICA ET PHYSICA, V, 3.

# DIE APATITE

DEREN CHEMISCHE ZUSAMMENSETZUNG UND IHR  
VERHÄLTNIS ZU DEN PHYSIKALISCHEN UND  
MORPHOLOGISCHEN EIGENSCHAFTEN

VON

*H. H A U S E N*

PROF. DER GEOLOGIE UND MINERALOGIE AN DER AKADEMIE ÅBO  
FINNLAND

ÅBO AKADEMI



HELSINGFORS  
1 9 2 9  
A.-B. F. TILCMANNS TRYCKERI



# INHALT.

	Seite
Einleitung .....	4
I Über die chemische Formel der Apatite .....	5
Zusammenfassung .....	28
II Licht- und Doppelbrechnung und deren Abhängigkeit von der chemischen Zusammensetzung .....	30
Lichtbrechung .....	30
Doppelbrechung .....	34
III Spezifisches Gewicht und dessen Abhängigkeit von der chemischen Zusammensetzung .....	39
IV Die kristallographische Ausbildung und deren Verhältnis zum Chemismus .....	43
Kristallflächen .....	43
Achsenverhältnisse der Apatite .....	49
V Versuch einer Einteilung der natürlichen Apatite .....	54
Verzeichnis der benutzten Literatur .....	59



## EINLEITUNG.

Die vorliegende Arbeit, die auf Anregung des Herrn Prof. Dr L. H. B o r g s t r ö m ausgeführt worden ist, stützt sich zum allergrössten Teil auf die verhältnismässig umfassenden, in der Literatur vorhandenen Untersuchungsergebnisse über die chemische Zusammensetzung, die physikalischen und morphologischen Eigenschaften der Apatite. Wegen der Leichtlöslichkeit der Apatite in Säuren liegen schon seit alten Zeiten zahlreiche quantitative Analysen dieser Mineralien vor, obwohl man verhältnismässig spät angefangen hat z. B. den Fluorgehalt zu bestimmen. Der Flächenreichtum besonders der Drusenapatite hat ebenfalls bewirkt, dass die kristallographische Ausbildung derselben eingehend studiert worden ist, wovon man nur durch einen Blick in V. G o l d s c h m i d t's Atlas der Kristallformen überzeugt wird. Der Zweck meiner Arbeit ist, auf Grund alles diesen veröffentlichten Materials das nähere Verhältnis des Chemismus' der Apatite zu den physikalischen und morphologischen Eigenschaften durch kritische Verwertungen darzulegen. Es soll hiermit also ein ähnliches Studium an die Öffentlichkeit gegeben werden, das schon über die Feldspäthe, weiter über Olivine, Skapolithe, Granate und andere Mineralien, oder richtiger gesagt — über deren isomorphe Mischungsreihen — durchgeführt worden ist.

Die Nummer, mit denen die Fundortsnamen in den Tabellen versehen sind, beziehen sich auf das Literaturverzeichnis am Schluss der Arbeit.

Für wertvolle Vorschläge und für das Interesse, mit dem Herr Prof. Dr. L. H. B o r g s t r ö m mein Studium befördert hat, spreche ich ihm hier meinen besten Dank aus.

Akademie Åbo, Februar 1928.

*Der Verfasser.*



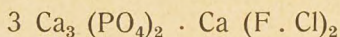
## UEBER DIE CHEMISCHE FORMEL DER APATITE.

»Im Grossen und Ganzen ist man genötigt unsere Kenntnisse über die chemische Zusammensetzung des Apatits als äusserst mangelhaft zu bezeichnen, so lange wir keine genügende Erklärung für das Defizit an Fluor, Chlor oder anderen Substanzen haben, die den Überschuss an Kalk binden könnten, der vorhanden ist, wenn schon die Phosphorsäure gesättigt worden ist. Ein solches Defizit äussert sich ebenfalls in den klarsten Apatiten. . .» (Nach K. A. Grönwall, Geol. Fören. i Stockh. Förhandl. 38. 1916. Pag. 428. Aus dem schwed. übersetzt).

Lange Zeit wurde das Mineral Apatit, bevor man begonnen hatte ihm eine mehr ernsthafte Aufmerksamkeit zu widmen, mit Beryll, Chrysolit und Turmalin verwechselt. W e r n e r schlug wie bekannt den Namen Apatit (= Trügling) vor. Kurz nachher entdeckte K l a p r o t h (1788), dass das Mineral ein Phosphat ist, was durch eine spätere Analyse von V a q u e l i n bestätigt wurde. Aus den analytischen Resultaten dieser Herren zog B e r z e l i u s den Schluss, dass der Apatit aus 3 Atomen Kalziumoyd mit einem Atom Phosphorsäure besteht. G. R o s e zeigte (1827), dass mit dem Kalziumphosphat Fluor und Chlor vereinigt sind, und dass das Mineral derselben Mineralgruppe angehört wie Pyromorphit, Mimetesit, etc., mit denen der Apatit sowohl chemische wie kristallographische Verwandschaft zeigt. Gleichzeitig fand R o s e, dass das quantitative Verhältnis zwischen Fluor und Chlor in den Apatiten grossen Schwankungen unterworfen ist,



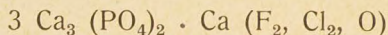
und dass man im Ganzen genommen zwischen den zwei Gruppen: *Fluorapatit* und *Chlorapatit* unterscheiden kann. Die Formel Rose's wird folgendermassen geschrieben:



Neuere Analysen wurden nachher von Voelcker, Rammeisberg, Arppe, von Pusirewsky u. a. veröffentlicht. Die Analysen von Pusirewsky wurden mit dem besonderen Ziel ausgeführt einen näheren Zusammenhang zwischen dem Chemismus der Apatite und einigen deren physikalischen Eigenschaften zu finden. Wir werden weiter unten Gelegenheit finden die Resultate von Pusirewsky näher zu berücksichtigen.

Noch später folgten die Apatitanalysen von Hoffmann und Penfield. Der letztere zeigte zum ersten Mal, dass stark manganhaltige Apatite in der Natur vorhanden sind, in welchen das Ca im Phosphat teilweise durch Mn ersetzt wird.

Im Jahre 1883 erschien J. A. Voelckers bekannte Arbeit über die chemische Zusammensetzung der Apatite, gestützt auf einer grossen Anzahl eigener Analysen. Er gelangte zu dem Resultat, dass die von Rose aufgestellte Formel nicht richtig sei, indem die Molekeln  $\text{CaF}_2$  und  $\text{CaCl}_2$  teilweise durch die Mol.  $\text{CaO}$  ersetzt werden können. Seine Behauptung ist darin begründet, dass er bei seinen Analysen trotz deren Genauigkeit stets ein Defizit an Halogenen bekam,<sup>1</sup> m. a. W. es war ein grösserer oder kleinerer Überschuss an Ca vorhanden, nachdem schon die Phosphorsäure und die Halogenwasserstoffsäuren gesättigt waren. Die Formel wurde von Voelcker in der folgenden Art geschrieben:



<sup>1</sup> Ein solches Defizit hatte schon längst vorher C. Rammeisberg (Handb. d. Mineralchemie, 1860, pag. 352) erhalten, als er einen Apatit aus Schwarzenstein, Zillertal analysierte. Er glaubte jenes sei entweder durch Unzuverlässigkeit der Bestimmungsmethode des Fluors (Wöhlers Methode) oder durch ein Irrtum in der Aufstellung der Apatitformel erklärt.



G r o t h, der die Arbeit V o e l c k e r' s in seiner Zeitschrift referiert (Zeitschr. f. Krist. Band XI. 1886, Pag. 109), macht dazu die Bemerkung, dass das Vorhandensein von freiem CaO teoretisch sehr unwahrscheinlich ist, und denkt, dass eine Substitution der Halogenen durch  $(OH)_2$  eher anzunehmen sei.

Der Manganapatit, zuerst von P e n f i e l d entdeckt, wurde eingehend von M. W e i b u l l (1886) untersucht, diesmal an schwedischem Material (Västanå). Bei einer Diskussion der Apatitformel im Anschluss an die Untersuchung fand W e i b u l l eine ähnliche Erklärung wie G r o t h (l. c.) um das Defizit an Halogenen in den Analysen zu erklären.

Er fasst das  $(OH)_2$  und die Kohlensäure als sekundäre Produkte auf.

1888 erschien die Arbeit von B r ö g g e r und B ä c k s t r ö m über ein karbonathaltiges, apatitähnliches, neues Mineral von Ödegarden, Bamle, Norwegen, das Dahllit genannt wurde. Die chemische Analyse des Minerals ergab ein Gehalt an  $CO_2=6.3\%$ , und das molekulare Verhältnis zwischen Phosphat und Karbonat erwies sich als 4:1, wozu noch eine halbe Mol.  $H_2O$  zu fügen sei. Halogenen sind in diesem Mineral garnicht vorhanden. Später werden wir Gelegenheit haben zu diesem Mineral zurückzukommen.

Im folgenden Jahre (1889) veröffentlichte J. H o s k y n s- A b r a h a m s e n seine umfassende Untersuchung über die chemische Zusammensetzung der Apatite. Der grossen Sorgfalt ungeachtet, die bei den Analysen angewandt wurde, kam H. A. jedoch zu demselben Ergebnis, wie auch V o e l c k e r, nämlich, dass ein Teil des Kalziums »ungesättigt« (als CaO) auftritt. Der gefundene Glühverlust  $(OH)_2$  (oder ev. Kohlensäure) reicht nämlich nicht aus, um das Defizit an Halogenen zu erklären.

Kurz nachher (1890) erschien das Studium H. B a u m h a u e r' s über die Winkelverhältnisse des Apatits aus verschiedenen Fundorten. Hierzu wurden drei Analysen (von K ö n i g) an gemessenen Apatiten ausgeführt. B a u m h a u e r glaubte die Regel P u s i r e w s k y' s bestätigt zu haben, dass der »Fundamentalwinkel« ( $c : x$ ) mit zunehmen-



## DIE APATITE

dem Chlorgehalt kleiner werde. Indessen ist zu bemerken, dass die besprochenen Apatite sehr arm an Chlor sind.

Das Studium von A. C a r n o t (1896) über die chemische Zusammensetzung der Apatite fusste teilweise auf eigenen Analysen an Material aus verschiedenen Fundorten. Er fand, dass die meisten Analysen die Formel von G. R o s e bestätigen. Die Ausnahmen wurden teilweise dadurch erklärt, dass die Halogenen z. T. durch  $\text{CO}_2$  ersetzt werden können, denn er bekam in einigen Analysen einen nicht unbedeutenden Gehalt an  $\text{CO}_2$  (oder ung. so viel wie dem Defizit an Halogenen entspricht). Nur ein Paar Analysen zeigten ein abweichendes Verhältnis, indem keine Kohlensäure gefunden wurde, obwohl die Summe der Halogenen sich als sehr niedrig erwies. Wir werden weiter unten diese Fälle näher erörtern. Die Entdeckung C a r n o t's, dass die Halogenen teilweise durch  $\text{CO}_2$  ersetzt werden können, ist von Interesse, besonders, weil er seine Theorie mittels Syntesen bestätigt hat. Er behandelte nämlich einige kohlensäurefreie Apatite mit  $\text{CO}_2$  und bekam dadurch eine Apatitsubstanz, die anstatt F teilweise  $\text{CO}_2$  enthält.

Die zahlreichen Apatitanalysen, die eine nicht genügende Menge von Halogenen aufweisen, veranlasste 1897 den damaligen Nestor der Mineralchemiker, C. F. R a m m e l s b e r g wiederum die chemischen Verhältnisse der Apatite zu besprechen. Bei Durchmusterung aller zuverlässigen Analysen kam er zu der Überzeugung, dass ein Defizit an Halogenen in der Tat manchmal vorhanden sein muss, dass aber die Formel nicht so geschrieben werden kann, wie V o e l c k e r es getan hat, sondern dass das überschüssige CaO mit dem Phosphat sich zu einem 'basischen Phosphat' vereinigt. Eine isomorphe Vertretung der Kalziumhalogenide durch CaO kann nach R a m m e l s b e r g nicht sein, weil jene Molekeln mit dieser verglichen einen ganz verschiedenen chemischen Charakter haben.

Im Jahre 1902 erschien die Arbeit von W o l f f und P a l a c h e über die schönen Apatite von Minot (Auburn) Maine, U. S. A., die typische Fluorapatite sind. Im Anschluss an dieses Studium wurde



ein Versuch gemacht, die bisher bekannten chemischen und physikalischen Daten der Apatite in tabellarischer Form zusammenzuführen, wobei die Grösse des »Fundamentalwinkels« ( $c : x$ ) der Reihenfolge zu Grunde gelegt wurde. Bei allen diesen Apatiten ist der Chlorgehalt jedoch durchgehend sehr gering (bis 0.5 %), weswegen die Theorie von P u s i r e w s k y und B a u m h a u e r, dass der Chlorgehalt für das Achsenverhältnis bestimmend sei, an diesem Material nicht genau geprüft werden konnte. Die Verfasser behaupten jedoch, dass ein grosser Fundamentalwinkel für reine Fluorapatite charakteristisch sei. Die physikalischen Eigenschaften zeigen kein bestimmtes Verhältnis zum Chlorgehalt.

Kurz nachher wurde die Untersuchung von K. W a l t e r über die Apatite von Epprechtstein (Bayern) und Luxullian (Cornwall) veröffentlicht. Wertvoll waren auch die Arbeiten von H. B a u m h a u e r (1908) über die optischen Verhältnisse der Apatite aus verschiedenen Fundorten.

Im Jahre 1912 veröffentlichte R. N a c k e n seine syntetischen Arbeiten über die Bildungsbedingungen des Apatits. Hierbei ist zu bemerken, dass Apatitsyntesen immerhin schon längst ausgeführt worden sind — d. h. in den fünfziger Jahren des vorigen Jahrhunderts (D a u b r é e, M a n r o s s und F o r c h h a m m e r). N a c k e n untersuchte aber auch die erhaltenen syntetischen Produkte in Bezug auf Lichtbrechungsverhältnisse.

In dem folgenden Jahre (1913) erschien die Arbeit von A. F. R o g e r s über Karbonatphosphat aus Tonopah, Nevada, U. S. A. Er zählt das Mineral zu dem von B r ö g g e r und B ä c k s t r ö m im Jahre 1888 aufgestellten Dahllit gleichwie zu dem von T s c h i r w i n s k y (1907) beschriebenen Podolit. S c h a l l e r versuchte auch ung. gleichzeitig (1912) zu zeigen, dass Dahllit und Podolit in der Tat identische Spezies sind. Die Gegenwart von Kohlensäure in den eigentlichen Apatiten ist übrigens von R o g e r s selbst (1912, 1913) aus 14 verschiedenen Fundorten nachgewiesen worden, sowohl in den Fluor- wie in den Chlorapatiten. Es existiert also offenbar unter diesen ein isomorphes



Verhältnis zwischen den Halogenapatiten und einem Karbonatapatit, d. h. es bestätigt sich die frühere Annahme von C a r n o t. R o g e r s fand ausserdem in den isomorphen Mischungsverhältnissen die Mol. CaO vertreten, und zwar in sehr vielen Fällen. Das häufige Defizit an Halogenen in den Analysen zwang ihn zur Annahme, dass  $\text{CaF}_2$  in vielen Apatiten durch CaO vertreten wird. In dem Falle, dass die Mol. CaO zum grössten Teil oder ganz die Kalziumhalogenide ersetzt hat, spricht R o g e r s vom Spezies »Voelckerit«, weil, wie oben gesagt, V o e l c k e r der erste war, der die Bedeutung des genannten Defizits hervorhob.

Man hat also nach R o g e r s die folgenden verschiedenen Apatitverbindungen, die in isomorpher Wechselbeziehung zu einander stehen:

Fluorapatit.....	3	$\text{Ca}_3 (\text{PO}_4)_2$ .	$\text{CaF}_2$
Chlor » .....	»	»	$\text{CaCl}_2$
Dahllit.....	»	»	$\text{CaCO}_3$
»Voelckerit«.....	»	»	CaO

Durch seine Studien an Karbonat- und Sulfat-führenden Mineralien aus dem bekannten Laacher-Seegebiet in Rheinland machte R. B r a u n s (1917) auf das Vorkommen von Sulfat-Apatit aufmerksam, in dem die Halogeniden zum Teil durch die Mol.  $\text{CaSO}_4$  ersetzt worden sind. In die obenstehende Reihe hat man also einen Apatit mit der genannten Molekel noch zu fügen.

Im Jahre 1916 veröffentlichte K. A. G r ö n w a l l eine eingehende Untersuchung über einige schwedische Apatite (Nordmarken und Bolandsgruvan), dabei sich an frühere Studien von Apatiten (aus demselben Lande) sich anschliessend. Er kommt u. a. zu dem Resultat, das die Pyramidenwinkel bei den tafelförmigen Apatiten weniger Schwankungen unterworfen sind als bei den prismatischen. Ob aber diese Schwankungen vom Cl: Gehalt direkt abhängig sind oder nicht, liess sich zur Zeit wegen Mangel an Material nicht entscheiden.

Zu erwähnen ist weiter die wichtige Zusammenstellung über chemische und physikalische Eigenschaften der Apatite, die von M. S e e b a c h in D o e l t e r's Handbuch der Mineralchemie gemacht wor-



den, und im Jahre 1918 erschien ist. Die dort vorhandenen Tabellen sowie die zahlreichen Literaturangaben sind vom Verfasser beim vorliegenden Studium reichlich ausgenutzt worden.

Eine wichtigere spätere Arbeit über einzelne Apatite ist die von A. Bianchi (1919). Von Bedeutung sind auch die von F. Zambonini (1923) ausgeführten Syntesen von Apatiten, in denen u. a. das Ca:Phosphat teilweise durch das Ce:Phosphat ersetzt wird.

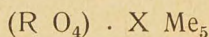
Interessant ist die Zusammenstellung von P. Ramdohr (1920) auf Grund aller neueren Apatitanalysen, wobei ebenfalls zwei von ihm ermittelte Analysen deutscher Apatite Verwendung gefunden haben. Er stellt ein ternäres molekulares Verhältnis auf, in der Form eines Dreiecks, wobei die Eckpunkte F, Cl und R entsprechen, die zuletzt genannte Buchstabe dabei als ein Zeichen der Summe des Gehalts an  $\text{CO}_2$ ,  $\text{SO}_3$ ,  $(\text{OH})_2$  wie auch des Sauerstoffs des »Voelckerits«. Es zeigt sich bei dieser Zusammenstellung, dass die meisten Apatite (mit Punkte bezeichnet) sich näher an die Ecken F und R ordnen und ebenso auf der zwischenliegenden Strecke, während die chlorreichen Apatite zu den Seltenheiten gerechnet werden können. Die »Mischungslücke«, die er auf der Strecke R—Cl angiebt, muss wohl wegen Mangel an Material vorläufig als eine offene Frage betrachtet werden. Ramdohr ist selbst der Ansicht, dass die meisten Analysen unvollständig sind, wie in Bezug auf die Bestimmung von  $\text{CO}_3$ ,  $\text{SO}_4$  oder des Konstitutionswassers, oder auch hat man F oft nicht unmittelbar bestimmt, sondern aus der Differenz berechnet.

Im Jahre 1925 veröffentlichte G. Pehrman eine Untersuchung, sowohl chemische wie physikalische, über einen Apatit, der in einem Pegmatit in der Stadt Åbo, Finnland, gefunden worden war. In Anschluss an seine Resultate stellte er eine Tabelle auf, die das Verhältnis zwischen dem Gehalt an F-Apatit, Cl-Apatit und »O-Apatit« einerseits und den physikalischen Konstanten anderseits bei verschiedenen Apatiten zum Vorschein bringen sollte. Die Daten sind zum grössten Teil aus Doelter's Handbuch der Mineralchemie (s. o.) entnommen. Dieser Zusammenstellung wurde auch ein ternäres (Dreieck-) Diagramm



beigefügt (F— Cl- und O-Apatit), das eine ähnliche »Mischungslücke« zwischen Cl- und O-Apatit zeigt, wie auch R a m d o h r's Diagramm. P e h r m a n kam zu dem Resultat, dass die meisten Apatite dem Fluorapatit und dem »Voelckerit« gehören. Ausserdem konnte er feststellen, dass »eine Abhängigkeit der Mengenverhältnisse der Komponenten vom spezifischen Gewicht oder von den Brechungsexponenten nicht wahrgenommen werden kann«. Wir werden weiter unten die Resultate von P e h r m a n besprechen.

Zu erwähnen ist weiter eine eingehende Charakteristik der Apatite von K. M i e l e i t n e r in H i n t z e s Handbuch der Mineralogie (1924). Besonders die daselbst vorhandenen Analysentabellen sind für die vorliegende Arbeit von grossem Nutzen gewesen. M i e l e i t n e r's allgemeine Formel der Apatite ist wie folgt:

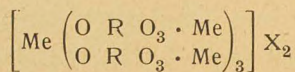


Bei den eigentlichen Apatiten wird diese Formel verdoppelt. X kann ausser die Halogenen noch  $CO_3$ ,  $SO_4$ , O und  $(OH)_2$  vertreten.<sup>1</sup>

In N i g g l i s' letztem Lehrbuch der Mineralogie (1926) sind sechs verschiedene Apatittypen unterschieden, die einander isomorph vertreten können, nämlich: Fluorapatit, Chlorapatit, Hydroxylapatit, Karbonatapatit, Sulfatapatit und ausserdem »Voelckerit«. Das Defizit an Halogenen etc. hat man also gemäss der V o e l c k e r-R o g e r s'schen Vorstellung erklärt.

Wie bekannt war L. H. B o r g s t r ö m<sup>2</sup> vor mehreren Jahren beim Studium der Skapolithe zu dem Resultat gekommen, dass diese Mineral-

<sup>1</sup> A. W e r n e r (1907) betrachtet die Apatitverbindungen als Einlagerungen von Phosphatmolekeln in Halogenidmolekeln gemäss der allgemeinen Formel (aus der Formel der Hexo Salze):



<sup>2</sup> L. H. B o r g s t r ö m: Die chemische Zusammensetzung der Skapolithe. Zeitschr. f. Krist. Band LIV. 1915.



gruppe nicht, wie man früher annahm, eine isomorphe Mischungsreihe von  $\text{CaO} \cdot 3 \text{CaAl}_2\text{Si}_2\text{O}_8$  mit  $\text{NaCl} \cdot 3 \text{NaAlSi}_3\text{O}_8$  darstellt, sondern dass das Mejonitsilikat statt  $\text{CaO}$ ,  $\text{CaCO}_3$  führt, welche Molekel sich isomorph mit  $\text{NaCl}$  vertauscht. In Bezug auf die Frage über die Zusammensetzung der Apatite schlug mir deswegen Prof. B o r g s t r ö m vor, den Gedanken näher zu prüfen, ob vielleicht bei dieser Mineralgruppe ein analoger Fall zu finden sei, d. h. ob unter den Apatiten in der Tat Kohlensäure eine grössere Rolle spiele, als man bisher angenommen hat. Man könnte in diesem Falle wahrscheinlich das Defizit an Halogenen erklären, das sich bei der Berechnung der Apatitanalysen fühlbar macht. Es sei also leicht möglich, dass die Analytiker dem Vorkommen von Karbonat nicht genügende Aufmerksamkeit zugewandt haben. Dafür sprechen auch die unerwartet auftretenden Mengen von  $\text{CO}_2$ , die schon C a r n o t und R o g e r s in einigen Halogenidapatiten aufgewiesen hatten. Übrigens hatte B o r g s t r ö m selbst vor einigen Jahren durch B. A a r n i o einige Kohlensäurebestimmungen an Apatiten ausführen lassen, die angeblich frei von  $\text{CO}_2$  sein sollten, welche positives Resultat zeigten und folglich die oben erwähnte Vermutung zu bestätigen scheinen.<sup>1</sup>

Es zeigte sich jedoch bei einer kritischen Durchmusterung und Verwertung einer grösseren Anzahl zuverlässiger Analysen, dass ausser dieser Erklärung des vorhandenen Defizits noch eine andere zu berücksichtigen sei, die möglicherweise eine noch grössere Tragweite haben kann und ausserdem den Chemismus der Apatite etwas umzugestalten trachtet. Diese Frage wird nun im Folgenden näher diskutiert.

Wir wollen die Apatite als *Doppelsalze* auffassen, aus zwei verschiedenen Molekeln bestehend, deren Mengenverhältnis durch das Koeffizientenverhältnis 3 : 1 ausgedrückt wird. Die grössere Molekel, die das Phosphat darstellt, wollen wir die *Hauptmolekel* nennen, während die kleinere, die *Nebenmolekel* genannt werden soll.

Wenden wir zuerst unsere Aufmerksamkeit der *Hauptmolekel* zu,

---

<sup>1</sup> von A. Laitakari veröffentlicht. Bull. Com. géol. de Finlande, N:o 54. 1920.



finden wir, wie verschiedene frühere Analysen gezeigt haben, dass Ca zuweilen isomorph durch Mn vertreten werden kann, in einigen Fällen sogar in beträchtlicher Menge. Hat man doch amerikanische Apatite, die nicht weniger als 10.59 % MnO aufweisen. Noch höherer Gehalt an MnO dürfte in einigen indischen Manganapatiten vorhanden sein, mindestens nach dem spez. Gewicht zu urteilen.<sup>1</sup> Weniger reichlich vorhanden ist das zweiwertige Fe wie auch das dreiwertige, während Mg meistens in ganz geringen Mengen nachgewiesen worden ist (zuerst von G. B i s c h o f). Die bedeutende Rolle, die Mn bei manchen Apatiten spielt, veranlasste M. S e e b a c h (im D o e l t e r's Handbuch der Mineralchemie) die besondere Gruppe »Manganapatite« auszuscheiden. Wie wir unten sehen werden, hat gerade diese Gruppe von den übrigen Apatiten ziemlich abweichende physikalische Eigenschaften.

Das Vorkommen von seltenen Erden, in erster Reihe, Ce, dann Y, La und Di, in dem Apatitphosphat, ist lange eine bekannte Tatsache gewesen, oder seit der Zeit, als W e b e r (1851) den Snarumapatit (Norwegen) analysierte. In den achtziger Jahren untersuchte C o s s a 26 Apatite aus verschiedenen Orten und fand, dass 14 von diesen mittels des Spektroskops die Linie des Di gaben. Die übrigen, die diese Linie nicht zeigten, wurden chemisch untersucht. Bei sämtlichen diesen Apatiten wurde Ce qualitativ nachgewiesen. Dazu analysierte C o s s a noch drei von den Di-führenden, und auch diese zeigten sich als Ce:haltig. In der allerletzten Zeit hat S t a r y n k e w i č - B o r n e m a n (1924) eine erneute Untersuchung über das Vorkommen der seltenen Erden in Apatiten aus verschiedenen Fundorten vorgenommen. In 20 von diesen konnte er seltene Erden nachweisen, in allen diesen auch Ce. Die höchsten Werte an russischem Material (77. 1924) zeigen Apatite aus der Kolahalbinsel, näher gesagt aus den pneuma-

---

<sup>1</sup> L. F e r m o r (1909) hat das spez. Gewicht eines Manganapatits aus Chárgaon, Nagpur, zu 3,41 bestimmt, das höchste bekannte sp. Gew. der Apatite überhaupt. (The Manganese-Ore Deposits of India. Mem. Geol. Survey of India. Vol. XXXVII. 1909. Pag. 207).



tolytischen Bildungen, die mit den dortigen alkalinen Magmen in Verbindung standen (3.18—0.84 % Selt. Erd). Sie werden jedoch von dem bekannten Apatit aus Langesundsfjord (Norwegen) mit 5 %, sowie von dem aus Narsarsuk (Grönland) mit bis 4.88 % (65) übertroffen, welche Apatite ebenfalls an alkaline Magmengesteine gebunden sind.

In diesem Zusammenhang sei auf die genannten Syntesen von F. Zambonini (1923) hingewiesen, wobei bestimmte Mengen von Ce dem Phosphat zugeführt wurden. Es hat sich dabei herausgestellt, dass, wie oben gesagt, das Ce:Phosphat das Ca:Phosphat isomorph vertreten kann, obwohl Ce bekanntlich hier dreiwertig, Ca wieder zweiwertig auftritt. Dieselbe Eigenschaft kommt auch dem Y:Phosphat zu. Zambonini bekam auch künstliche Cerapatite, die einen Gehalt an  $\text{CePO}_4$  bis 8 % aufweisen.

Im Folgenden werden wir bei der Besprechung der physikalischen Eigenschaften der Apatite zu denjenigen zurückkommen, die seltene Erden führen. Es zeigen sich nämlich hier, ebenso wie in Bezug auf die Mn:haltigen, einige abweichende Umstände.

In ähnlicher Art wie das dreiwertige Ce tritt wohl auch das meistens in den Apatiten in unbedeutender Menge vorhandene Al auf. (Dazu noch dreiwertiges Eisen, das aber selten für sich bestimmt worden ist).

Kommen wir dann zur *Nebenmolekel* des Apatit-Doppelsalzes, an das die interessantesten Fragen des Chemismus' geknüpft sind. Wie aus der historischen Einleitung hervorgeht, sind es eine Reihe von Säureradikalen, die einander isomorph vertreten können, und die ich hier nicht weiter aufzähle. Es genüge darauf hinzuweisen, dass die überaus am häufigsten in der Natur vorkommenden die *Fluorapatite* sind, d. h. die mit der Nebenmolekel  $\text{CaF}_2$ . Die chemische Zusammensetzung des teor. berechneten reinen  $\text{CaF}_2$ :Apatits ist:

CaO .....	55,51 %
$\text{P}_2\text{O}_5$ .....	42,25 »
F .....	3,77 »
<hr/>	
Summe:	101,53 %
Ab für O .....	1,53



Auf Grund der zahlreich vorhandenen Apatitanalysen, die ich aus der Literatur entnommen habe, kann behauptet werden, dass die F:Apatite meistens einen Gehalt an F haben, der nicht weit unter der theoretischen Menge des reinen F:Apatits sinkt. Dieser Umstand geht schon aus der »Frequenzkurve« für F hervor (siehe Fig. 1). Diese Linie erhielt ich in folgender Weise: auf der Abscisse wurden die Anzahl der Apatitanalysen abgestochen, auf der Ordinate die Menge des gefundenen F in Prozent des teor. F:Gehalts (3.7 %) ausgedrückt. Es zeigte sich nun, dass die Linie ziemlich langsam bis 75 % fällt, dann etwas schneller bis 50 %, mehr bis 25 % und sehr steil bis 5 %. Fluorarmer Apatite sind also sehr selten.

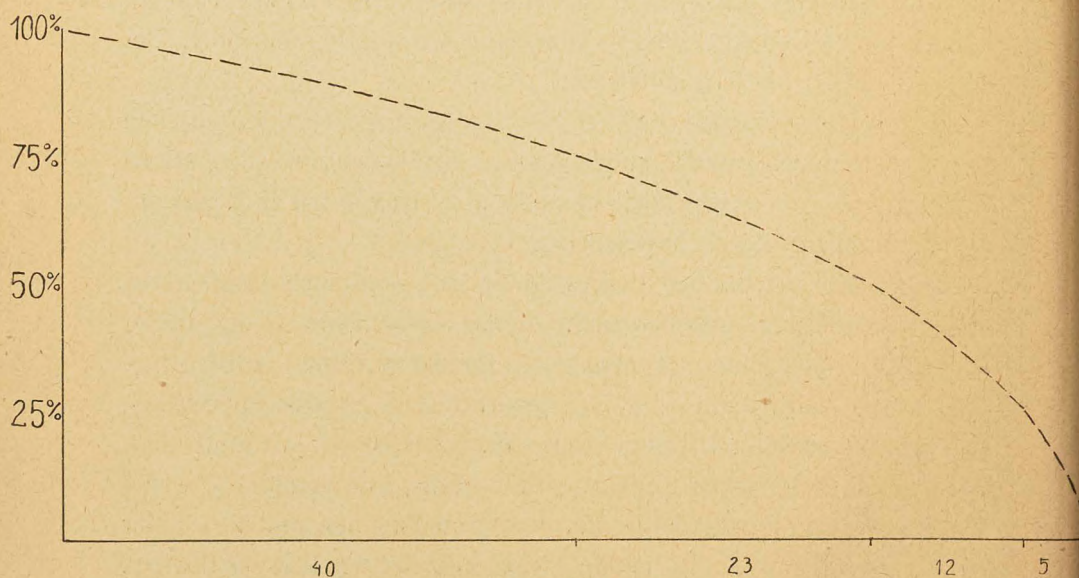


Fig. 1.

Im Gegensatz zu den Fluorapatiten sind die *Chlorapatite*, wie bekannt, in der Natur nur spärlich vertreten, hauptsächlich aus den Mineralfundstätten im südlichen Norwegen bekannt. Unter Chlorapatiten verstehe ich solche, deren Chlorgehalt gleich stark hervortritt wie Fluor in den echten Fluorapatiten. Cl gibt es ja sonst in den allermeisten



analysierten Apatiten, aber öfterst in ganz unbedeutender Menge, weit unter 1 % des Höchstbetrages des Cl:Apatits (6.8 % = 100 %).

Der reine Chlorapatit hat die folgende (teoretisch berechnete) chemische Zusammensetzung:

CaO .....	53.80 %
P <sub>2</sub> O <sub>5</sub> .....	40.91 »
Cl .....	6.81 »
<hr/>	
Summe: 101.52 %	
Ab für O .....	1.52

Analysen der *am meisten chlorreichen, natürlichen Apatite* haben folgende Cl:Mengen:<sup>1</sup>

	Anal.	Cl
74. Ödegaarden, Bamle .....	Waage .....	5.80 %
» » .....	Carnot .....	5.31 »
32. Kragerö .....	» .....	4.85 »
17. » .....	Voelcker .....	4.10 »
32. Ödegaarden .....	Carnot .....	3.58 »
» » .....	» .....	2.87 »
1. Snarum .....	G. Rose .....	2.71 »
7. » .....	Weber .....	2.66 »
67. Blaue Kuppe, Eschwege .....	Ramdohr .....	2.06 »
74. Tiree, Schottland .....	Hancock .....	1.85 »
29. Ceylon .....	Jannasch .....	1.82 »
17. Kragerö .....	Voelcker .....	1.38 »
» » .....	» .....	1.03 »

Die Apatite, deren Cl:Gehalt unter 1.7 % sinkt, also unter 25 % der theoretischen Summe des Cl:Apatits, können wohl kaum mehr als Cl:Apatite angesehen werden. Weiter unten werden wir versuchen diese Minimigrenze näher zu definieren.

Die obenstehenden Werte des Cl:Gehaltes, sowie andere in den Analysen gefundene, bis zu Spuren herunter, habe ich in ein statistisches Diagramm in derselben Art wie früher die F:Werte eingetragen, d. h. so, dass die Anzahl der Apatite, in Gruppen mit abnehmendem Chlorgehalt

<sup>1</sup> Einige der Voelcker'schen Analysen von Apatiten aus »Norwegen« habe ich nicht mitgenommen.



angeordnet, entlang der Abscisse abgemessen wurde, während die Ordinate die Prozentzahlen der theoretischen Höchstsumme des Chlorgehaltes (6.8 %) veranschaulicht. Man bekommt dabei eine stark krumme Linie, mit der Krümmung nach unten gerichtet (siehe das Diagramm, Fig. 2). Diese Linie hat gleich im Anfang (nach rechts gezählt) ein sehr steiles Fallen, und verflacht dann allmählich, bis sie mit der Abszisse beinahe parallel verläuft, und schliesslich allmählich mit ihr zusammenfällt.

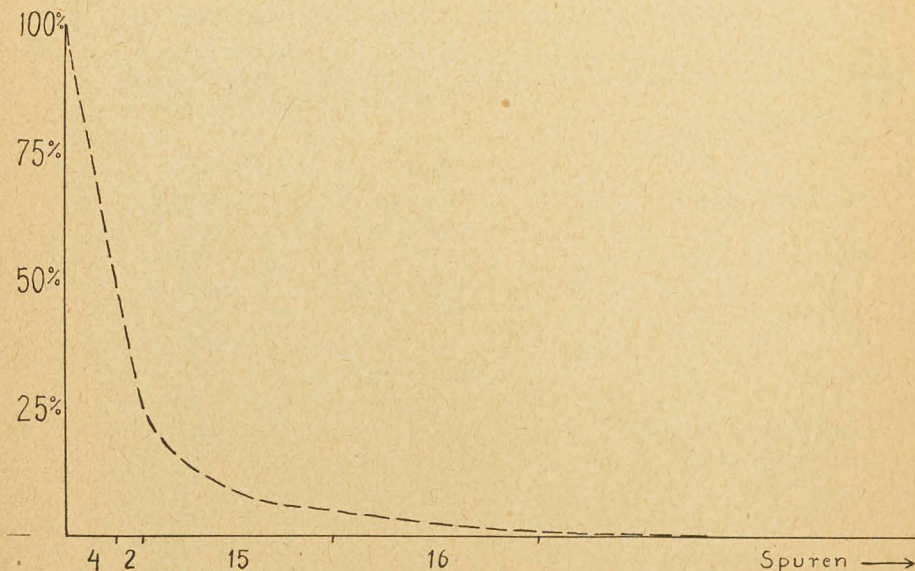


Fig. 2.

Vergleicht man nun die gegenseitigen Mengenverhältnisse des Fluors und des Chlors in den Apatiten mit einander, (siehe das Diagramm Fig. 3, das eine Kombination der F: und Cl:Diagramme darstellt, wobei die Cl:Linie in diesem Diagramm invers eingetragen ist) so findet man, dass F und Cl *überhaupt nicht in komplementärer Beziehung zu einander stehen*, und dass also die übliche Auffassung, dass die Apatite in erster Linie Mischungen zwischen  $\text{CaF}_2$ - und  $\text{CaCl}_2$ -Apatiten darstellen, so wie seit G. Rose's Zeiten angenommen worden ist, nicht berechtigt ist. Bei dieser Regel können jedoch Ausnahmefälle



vorkommen. Die unten folgende tabellarische Zusammenstellung möchte das oben gesagte einschliesslich der Diagramme näher erläutern:

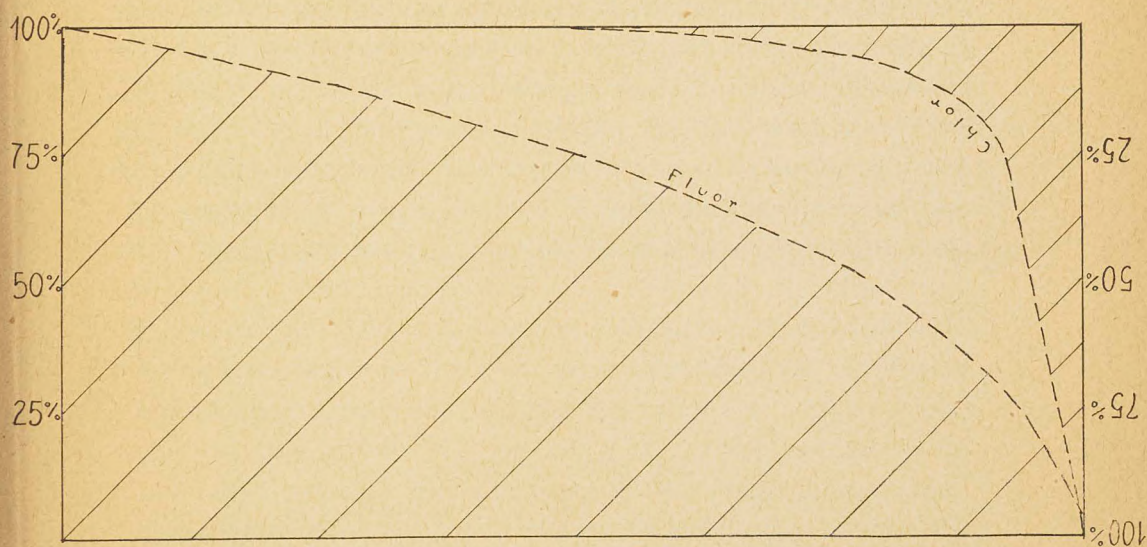


Fig. 3.

Mengenverhältnis zwischen F und Cl in fluorärmeren Apatiten (Gehalt an F — unter 75 % der teor. Totalsumme oder unter 2.8 Gew. prozent.):

Fundort	F	Cl
5. Ersby, Pargas .....	2.70 %	—
50. Luxullian, Cornwall .....	2.63 »	0.10 %
» » » .....	2.60 »	0.07 »
» » » .....	2.53 »	0.13 »
» Epprechtstein, Bayern .....	2.41 »	0.04 »
40. Minot (Auburn), Maine .....	2.38 »	— »
67. Katzenbuckel, Odenw. ....	2.23 »	0.83 »
74. Prinzenstein, St. Goar .....	2.19 »	0.02 »
» Zwiesel, Bayern .....	2.15 »	— »
65. Oberwiesental, Sachsen .....	2.05 »	2.87 »
24. Jumilla, Murcia .....	1.98 »	0.24 »
78. Åbo, Finnland .....	1.95 »	0.47 »
75. New Ross, N. Sc. ....	1.84 »	— »
65. Ödegaarden, Bamle .....	1.66 »	3.58 »
64. Laacher See, Rheinl. ....	1.64 »	0.16 »
59. Zillertal, Tirol .....	1.20 »	— »
67. Blaue Kuppe, Eschwege .....	1.18 »	2.06 »
29. Ceylon .....	1.03 »	1.82 »



Aus dieser Tabelle geht also zunächst hervor, dass während der F: Gehalt unter 75 % der teor. Tot. summe stetig sinkt, der Cl:Gehalt sich indifferent verhält und meistens viel zu gering ist um überhaupt eine annähernd komplementäre Rolle zu spielen. Es entsteht also bei sehr vielen Apatiten ein mehr oder weniger auffallendes *Defizit* an Halogenen, das oben in der historischen Einleitung kurz besprochen worden ist, und dessen Erklärung wir weiter unten suchen werden. Dasselbe Defizit geht graphisch aus dem Diagramm Fig. 3 hervor, jedoch nur annähernd, denn die vertikalen Koordinaten der F: und Cl: Linie entsprechen ja einander nicht (so dass jede Koordinate einem Apatit entspräche).

Es fragt sich nun, wo ist die Grenze zwischen Fluor- und Chlorapatite zu ziehen? Natürlich könnte man sich mit einer ganz willkürlichen Grenze genügen, wie früher geschehen ist. So könnte man behaupten, die Chlorgrenze läge bei 25 % des teor. Cl-Gehaltes, weil von diesem Punkt aus die Chlorlinie im Diagramm Fig. 2 flacher wird. Anderseits könnte man als die Grenze des Fluorapatits den entsprechenden Wert, 25 % des F-Gehalts annehmen, weil die Fluorlinie hier eine steile Biegung nach unten macht (Diagramm). Besser ist jedoch die Sache näher zu prüfen. Man muss z. B. nachsehen, ob ein Gehalt an 25 % Cl oder F des teor. Gehaltes wirklich die physikalischen und morphologischen Eigenschaften *beeinflussen*. Das wollen wir weiter unten tun, und das Ergebnis der Untersuchung am Schluss der Arbeit zusammenfassen, um eine schärfere Einteilung der Apatite als vorher zu bekommen. Zunächst wollen wir uns jedoch einigen anderen Gruppen von Apatit-mineralien zuwenden, und dabei mit den Karbonatapatiten anfangen.

Die *Karbonatapatite*, die in der Einleitung kurz erwähnt worden sind umfassen ziemlich verschiedene Spezies. Dazu kann man nämlich sowohl Apatite des gewöhnlichen Typus' rechnen, die einen wechselnden Gehalt an  $\text{CO}_2$  aufweisen, wie auch »reine« (halogenfreie) Karbonatapatite, die z. T. wasserhaltig sind und als besondere Mineralspezies angesehen worden sind. Diese karbonatischen Mineralien sind weniger eingehend bekannt, so dass bestimmte Schlussfolgerungen in Bezug auf die chemische Konstitution nicht gezogen werden können.



Wie in der kurzen historischen Einführung bereits hervorgehoben worden ist, haben manche Apatitanalysen ergeben, dass ein kleinerer oder grösserer Gehalt an  $\text{CO}_2$  vorhanden ist. Dieser Umstand veranlasste schon A. C a r n o t (1896) anzunehmen, dass die Halogenidmolekel in der Apatitformel von  $\text{CaCO}_3$  teilweise substituiert wird. Denselben Gedanken folgte A. F. R o g e r s (1913). Den maximalen Fall dieser Substitution, den reinen Kartbonatapatit, nahm er als identisch mit dem von B r ö g g e r und B ä c k s t r ö m entdeckten Dahllit an, und dieser Karbonatapatit wurde nun als »Dahllit« in die isomorphe Reihe der übrigen Apatite gestellt.<sup>1</sup>

Zunächst gebe ich eine tabellarische Zusammenstellung sämtlicher mir bekannten, *kohlensäurehaltigen Halogenidapatite* mit Angabe entsprechender Mengen von F, Cl und  $\text{H}_2\text{O}$ :

*Karbonathaltige Halogenidapatite.*

	Fundort	$\text{CO}_2$	F	Cl	$\text{H}_2\text{O}$
13.	Templeton, Canada .....	2.30 %	1.26 %	0.37 %	—
32.	Renfrew, » .....	1.50 »	2.26 »	0.28 »	—
61.	Santa Clara, Cal. ....	1.03 »	— »	— »	0.22 %
74.	Watts Mine, Portland .....	0.86 »	3.38 »	0.09 »	—
	Skräbböle, Pargas <sup>2</sup> .....	0.67 »	n. b. »	n. b.	n. b. (nicht bestimmt)
	Perth, Ontario <sup>2</sup> .....	0.55 »	»	»	—
74.	Templeton, Canada .....	0.52 »	»	»	—
	Ersby, Pargas <sup>2</sup> .....	0.45 »	(2.70)	»	—
69.	Mansjö, Schweden .....	0.41 »	3.75 »	0.10 »	—
74.	Grant Mine, Buckingh. ....	0.37 »	3.47 »	0.26 »	—
	Laurinkari, Åbo <sup>2</sup> .....	0.322 »	n. b.	n. b. »	n. b.
74.	Ritchie Mine, Portl. ....	0.22 »	3.86 »	0.23 »	—
61.	Zillertal, Tirol .....	0.16 »	1.20 »	— »	0.30

<sup>1</sup> Weil man vermuten kann, dass Kohlensäure in sehr kleiner Menge in den allermeisten Apatiten steckt, deswegen auch nicht bestimmt worden ist, versuchte ich ein direktes und schnelles Verfahren auszufinden um diesen Gehalt nachzuweisen. Der Versuch blieb jedoch ohne Erfolg. So nahm ich mir vor die gegebene Apatitsubstanz in einem Glaskölbchen mit verdünnter Salpetersäure zu erwärmen und die entweichende Kohlensäure (durch Kühlrohr geleitet) in einer Vorlage von gelöstem Baryumhydrat aufzufangen. Beim Nachfiltrieren der entstandenen Baryumkarbonatfällung bekam ich jedoch zu unsichere Werte, teils in Folge einer Absorption von Kohlensäure aus der Luft, teils wegen Gasverlust schon während des Absorptionsprozesses.

<sup>2</sup> A. L a i t a k a r i: Bull. Com. géol. de Finlande, N:o 54. 1920. 91.



Wie man aus dieser angeführten Tabelle sieht, ist  $\text{CO}_2$  in beinahe durchgehend grösserer Menge als Cl vorhanden, und doch handelt es sich nicht um eigentliche Karbonatapatite, sondern vielmehr um Halogenidapatite, oder richtiger gesagt Halogenid-karbonatapatite.

Eitel hat jüngst (1925) auf syntetischem Wege einen *reinen Karbonatapatit* dargestellt, der genau der gewöhnlichen Apatitformel entspricht (3 : 1). Dieser Apatit enthält 4.31 %  $\text{CO}_2$ . Die natürlichen (halogenidfreien) Karbonatapatite enthalten nun teils ungefähr gleich viel  $\text{CO}_2$ , teils viel mehr. So führt der etwas wasserhaltige Dahllit aus Kangerdluarsuk (Grönland) beinahe doppelt so viel Kohlensäure, nämlich 8.06 %. Die chemische Zusammensetzung der beiden erwähnten Karbonatapatite ist wie folgt:

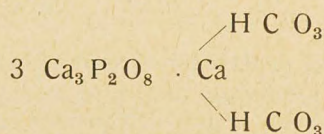
1. Synt. Karbonatapatit (Eitel)

CaO .....	54.40 %
$\text{P}_2\text{O}_5$ .....	41.26 »
$\text{CO}_2$ .....	4.31 »
	<hr/>
	100.00 %

2. Dahllit, Kangerdluarsuk <sup>1</sup>

CaO .....	54.10 %
$\text{P}_2\text{O}_5$ .....	32.40 »
$\text{CO}_2$ .....	8.26 »
$\text{Na}_2\text{O}$ .....	0.77 »
$\text{Al}_2\text{O}_3$ .....	3.15 »
$\text{H}_2\text{O}$ .....	1.32 »
	<hr/>
	100.00 %

Der grosse Unterschied in Bezug auf den Gehalt von  $\text{CO}_2$  könnte vielleicht dadurch erklärt werden, dass der Dahllit ein Phosphat mit saurem Kalziumkarbonat verbunden sei, nach der Formel:



Aus dieser Formel lässt sich folgende teoretische Zusammensetzung berechnen, die eine annähernde Übereinstimmung mit der des Dahllits oben aufweist:

<sup>1</sup> O. B. Bøggild: Meddelelser om Grønland. LI. 1915. Pag. 440.



## 3. Teor. Zusammensetzung eines sauren Karbonatphosphates.

CaO .....	51,30 %
P <sub>2</sub> O <sub>5</sub> .....	39.00 »
CO <sub>2</sub> .....	8.05 »
H <sub>2</sub> O .....	1.65 »
	<hr/>
	100.00 %

Man sieht also, dass der reine Karbonatapatit, der ja die Zusammensetzung des von Eitel syntetisch hergestellten haben soll, einer von den isomorphen Mischungskomponenten sein muss, und nicht wie Rogers angenommen hat, der »Dahllit« der übrigens keine bestimmte oder wenigstens keine analoge Formel hat.<sup>1</sup>

Die z. T. halogenfreien Karbonatphosphate in der Natur, die zu den amorphen Phosphaten mit schwankender chemischer Zusammensetzung herüberleiten (Podolit, Francolit, Staffelit, Quercynit, Collophanit etc.), haben teilweise nahe Anklänge an die Apatite. Die chemische Formel derselben ist jedoch oftmals nicht gut exakt festzustellen. Der Podolit soll nach Schaller (1912) identisch mit Dahllit sein, der Francolit enthält F ebenso wie Staffelit. Alle sind sie mehr oder weniger wasserhaltig.

Zum Schluss werden wir noch eine Gruppe von Apatiten besprechen, nämlich *die alkalihaltigen Apatite*.

Beim Durchmustern des in der Literatur vorhandenen Materials an Apatitanalysen (in Hintze's Handbuch der Mineralogie, 34 Lieferung, 1924, zusammengestellt) findet man, dass manche von diesen einen nicht unbeträchtlichen Gehalt an Na<sub>2</sub>O und K<sub>2</sub>O aufweisen. Ich werde zunächst diese Apatite in tabellarischer Form, nach abnehmendem Gehalt an Na<sub>2</sub>O geordnet, aufschreiben. Dabei habe ich auch zwei neuere Analysen mitgenommen:

<sup>1</sup> Nach Tschirwinsky (Centralbl. f. Min. etc. 1918. 4) soll der Dahllit die Zusammensetzung  $2 \text{Ca}_3 (\text{PO}_4)_2 \cdot \text{CaCO}_3 + n\text{H}_2\text{O}$  haben.



## Alkalihaltige Apatite.

Fundort	Anal.	Na <sub>2</sub> O	K <sub>2</sub> O	F	Cl	H <sub>2</sub> O
78. Åbo, Finnland .....	E k w a l l ..	1.78 %	0.41 %	1.98 %	0.48 %	—
50. Luxullian, Cornwall ..	W a l t e r ..	1.11 »	1.07 »	2.60 »	0.07 »	0.35 %
» » » ..	» ..	1.09 »	1.05 »	2.63 »	0.10 »	0.36 »
» » » ..	» ..	0.96 »	0.92 »	2.53 »	0.13 »	0.40 »
» Epp echtstein, Bayern.	» ..	0.95 »	1.03 »	2.41 »	0.04 »	0.37 »
65. Renfrew, Canada ....	J a n n a s c h	0.92 »	0.50 »	3.75 »	— »	0.12 »
» » » .....	» ..	0.90 »	0.47 »	4.68 »	— »	0.10 »
50. Gletsch, Rhönegl. ....	W a l t e r ..	0.53 »	0.45 »	2.93 »	Sp. »	0.22 »
24. Jumilla, Murcia .....	H o s k y n s - A b r a h a l l	0.44 »	—	1.98 »	0.24 »	—
74. Oberwiesental, Sachsen	S a u e r ....	0.42 »	0.52 »	1.03 »	1.82 »	0.48 »
29. Ceylon .....	J a n n a s c h	0.42 »	0.52 »	1.03 »	1.82 »	0.48 »
40. Auburn (Minot), Maine	W o l f f u . P a l a c h e .	0.36 »	0.27 »	2.38 »	—	0.29 »
67. Katzenbuckel, Odenwald	R a m d o h r	0.28 »	0.15 »	2.23 »	0.83 »	0.13 » SO <sub>3</sub>
65. Prinzenstein, St. Goar	S a c h s ..	0.13 »	0.17 »	2.19 »	0.02 »	0.24 »
74. Germantown, Penn ..	E y e r m a n	0.07 »	0.33 »	3.35 »	—	—

Einen in H i n t z e's Handbuch erwähnten Alk. Apatit aus Laacher See (B r a u n s) habe ich ausser Acht gelassen, weil die betr. Analyse nur »Summe von Alkalien« = 2.70 % anführt. Wahrscheinlich kommen unter den Apatiten Alkalien noch viel häufiger vor, man hat aber diese Bestandteile eher als Verunreinigungen betrachtet, wenn sie nur kleinere Beträge aufweisen.

Die in der Tabelle angeführten Analysen zeigen mit zwei Ausnahmen (Renfrew) einen nicht genügenden Gehalt an Halogenen um das Ca, das vom Phosphat nicht gebunden wird, annähernd sättigen zu können, welcher Mangel auch nicht durch andere Säureradikalen geholfen wird (nur »Katzenbuckel« hat ein wenig SO<sub>3</sub>).

Rechnet man diese Tabelle derart um, dass die Alkalien zu Na<sub>2</sub>O und die Halogenen zu F zusammengeschlagen werden (und die in einem Falle vorhandene SO<sub>3</sub> zu dem F geführt wird) bekommt man die untenstehende Serie (hierbei ist ein syntetischer Cl: Apatit von F. Z a m - b o n i n i mitgenommen):

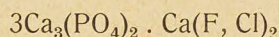


		»Total«-	
		Na <sub>2</sub> O	F
72.	Synt. NaCl: Apatit .....	2.11 %	2.60 %
78.	Äbo .....	2.05 »	2.21 »
50.	Luxullian .....	1.82 »	2.64 »
»	» .....	1.78 »	2.78 »
»	Epprechtstein .....	1.63 »	2.62 »
»	Luxullian .....	1.50 »	2.59 »
65.	Renfrew .....	1.24 »	3.74 »
»	» .....	1.21 »	3.68 »
50.	Gletsch .....	0.83 »	2.93 »
74.	Oberwiesental .....	0.72 »	2.01 »
29.	Ceylon .....	0.72 »	2.01 »
40.	Auburn (Minot) .....	0.54 »	2.53 »
24.	Jumilla .....	0.44 »	2.13 »
67.	Katzenbuckel .....	0.38 »	2.95 »
74.	Germantown .....	0.26 »	2.44 »
65.	Prinzenstein .....	0.24 »	2.20 »

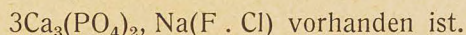
Hierbei ist der Gehalt an Wasser ausser Acht gelassen, weil nicht entschieden werden kann, wann dieser Bestandteil primär oder sekundär ist.

Man findet hieraus, wie gesagt dass die alkaliführenden Apatite mit zwei Ausnahmen (Renfrew) sämtlich einen nicht genügenden Gehalt an F aufweisen, der sich unter 3 % hält. Eine Parallelität zwischen abnehmendem Gehalt an F und zunehmendem Gehalt an Na<sub>2</sub>O ist jedoch im Allgemeinen nicht vorhanden.

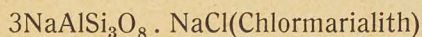
Dieser offenbare Zusammenhang zwischen F:Defizit einerseits und einer gewissen Menge von Alkalien andererseits könnte dadurch erklärt werden, dass in den Apatiten ausser dem Doppelsalz



noch das Doppelsalz

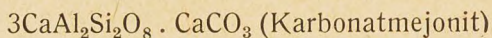


Ein derartiges Isomorphieverhältnis kommt, wie man sich erinnern mag, ebenfalls sowohl in der Skapolithgruppe wie in der Sodalithgruppe vor. Im vorigen Falle hat man, wie *Borgström* (l. c. pag. 12) gezeigt hat, das Mischungsverhältnis

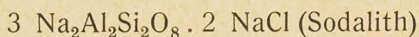




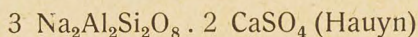
und



In der Sodalitgruppe hat man wieder wie bekannt:



und



In den beiden Mineralgruppen findet man also, dass die Nebenelemente trotz der verschiedenen Valenzen der betreffenden Ionen, in isomorpher Wechselbeziehung zu einander stehen.

Um die Brauchbarkeit der oben angeführten neuen Apatitformel zu untersuchen berechnete ich die theoretische Zusammensetzung isomorpher Mischungen von Natriumchloridapatit mit Calciumchloridapatit (Siehe Diagramm 4) sowie von Natriumfluoridapatit mit Calciumfluoridapatit (Siehe Diagramm 5). Die durch Berechnung erhaltenen Werte verglich ich dann mit denen einiger Apatitanalysen, die Gehalt an Alkalien aufweisen. Wie aus den Diagrammen ersichtlich, ist die Übereinstimmung eine sehr auffällige.

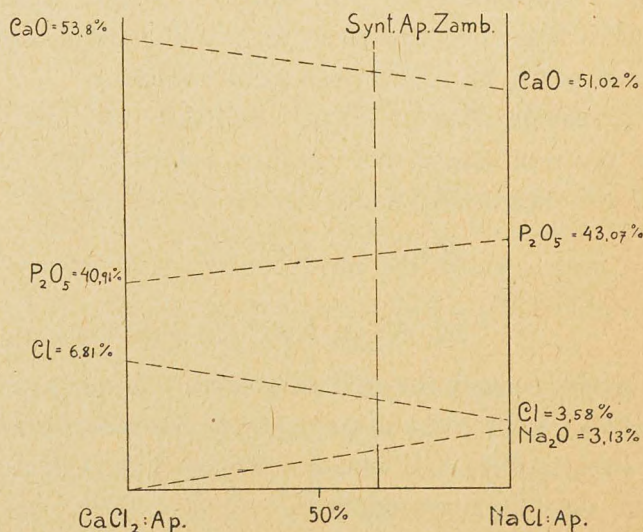


Fig. 4.



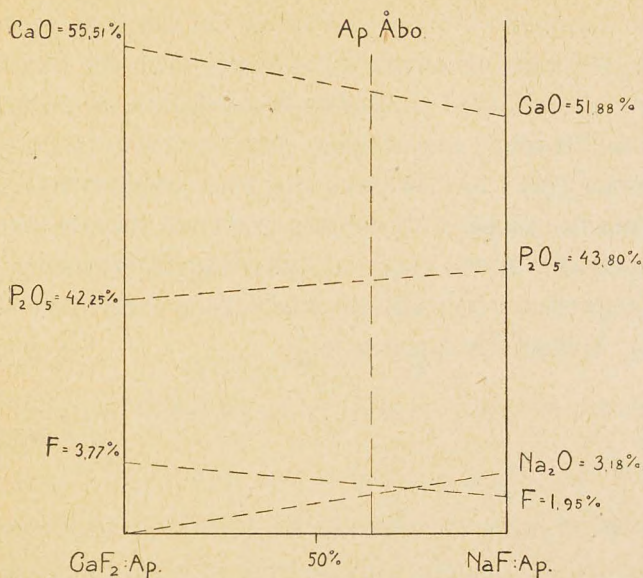


Fig. 5.

Diese Übereinstimmung beweist nicht nur, dass die neue Apatitformel ihre Bestätigung gefunden hat, sondern auch, dass die Alkalien, die in Apatiten vorhanden sind, ausschliesslich in der Nebenmolekel auftreten, und nicht etwa ihre Menge zwischen der Haupt- und der Nebenmolekel verteilen.

Tabelle im Anschluss an die Diagramme 4 und 5.

Bestandteile	Teoretischer		Synt. Ap.		3. Åbo		4. Luxullian	
	NaCl:Ap	NaF:Ap	Zamb.					
	Ber.	Ber.	Anal.	Ber.	Anal.	Ber.	Anal.	Ber.
CaO .....	51.02	51.88	52.03	51.95	53.80	53.15	54.80	54.10
P <sub>2</sub> O <sub>5</sub> .....	43.07	43.80	42.24	42.32	41.94	43.20	41.16	42.05
Na <sub>2</sub> O .....	3.13	3.18	2.11	2.05	2.05	2.10	1.42	1.25
F .....	—	1.95	—	—	2.20	2.50	3.30	3.00
Cl .....	3.58	—	4.85	4.20	—	—	—	—



In den Analysen Åbo und Luxullian ist das  $K_2O$  zu  $Na_2O$  umgerechnet, gleichwie die zweiwertigen Basen sowie die Sesquioxide zu  $CaO$  umgerechnet sind. Die Alkalien sind nicht, wie man es früher getan hat, in das Phosphat eingerechnet, sondern werden sie mit den Halogenen vereinigt gedacht. Die unter »Ber.« bezeichneten Werte sind also die, die aus den obigen Diagrammen graphisch erhalten worden sind.

Die berechneten Werte, die in der Tabelle angeführt sind, entsprechen folgenden Prozentsen der Alkalihalogenidkomponenten im Verhältnis zu den Ca: Halogenidkomponenten:

Synt. Apatit, Zambonini .....	65 % NaCl : 35 % $CaCl_2$
Åbo .....	65 » NaF : 35 » $CaF_2$
Luxullian .....	40 » » : 60 » »

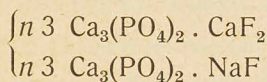
Die in der Tabelle angeführten Beispiele sind noch dadurch vom Interesse, weil sie erläutern, wie es möglich ist, beim Gebrauch der neuen Formel nur an der Hand der Alkalibestimmung die Mengen der anderen Bestandteile in der Analyse vorauszusagen, einschliesslich des Gehaltes an Halogenen, wenn man nur Auskunft darüber hat, ob dieser F oder Cl ist. Die Annahme des Vorhandenseins der neuen Apatitmolekel, d. h. des Alkalihalogenidapatites bringt eine Erklärung des scheinbaren Defizits an Halogenen, das sich in den Analysen geltend macht, wenn diese nach der bis jetzt üblichen Methode ausgerechnet werden. Ein wirkliches Defizit existiert nämlich nicht. Es mag an dieser Stelle hervorgehoben werden, dass z. B. der Apatit von Åbo gemäss Pehrman's Ausrechnung nicht weniger als 40.57 % »Voelckerit« enthalten sollte. Zambonini's Analyse (des synthetischen Apatits) führt ihn wieder zu der folgenden Formel ( $Na_2O$  zu  $CaO$  vereinigt):



Als Zusammenfassung über den Chemismus der Apatite können wir sagen, dass der überaus häufigste in der Natur vorkommende Spezies der *Fluorapatit* ist. Durchgehend findet man aber bei ihm einen gröss-



ren oder kleineren Mangel an F, der von vielen Verfassern schon hervor-  
gehoben und so erklärt worden ist, dass an der Stelle des Nebenmolekels  
 $\text{CaF}_2$  noch ein »ungesättigter« Molekel  $\text{CaO}$  vorhanden sein soll, das  
desto grösser ist, je grösser das Defizit an F. Nach der Meinung des  
Verfassers ist dieses Defizit so zu deuten, dass der F: Apatit noch mit  
einem *Alkalifluoridapatit* in isomorpher Verbindung vorkommt. Der  
Gehalt an diesem letzteren Apatitkomponent beträgt zuweilen bis über  
50 %. Der gewöhnlichste Apatit entspräche dann der Formel:



Je grösser also das »Defizit« an F in einem Apatit ist, um so mehr  
von dem Alkalihalogenidapatit kommt in dem gewöhnlichen Fluor-  
apatit beigemischt, vor.<sup>1</sup>

Der in die früheren Literatur vielfach erwähnte »Voelckerit«-Apatit,  
der einem Apatit mit der »ungesättigten« Verbindung  $\text{CaO}$  entspre-  
chen sollte, kommt also jetzt gar nicht mehr in Betracht.

*Chlorapatite* sind in der Natur sehr selten, und in der isomorphen Misch-  
ungsreihe spielen sie eine nur unbedeutende Rolle. In den meisten  
Apatiten ist nämlich der Chlorgehalt nur verschwindend klein, dies  
ebenfalls in solchen, wo der Fluorgehalt dem theoretischen Gehalt lange  
nicht entspricht. Ein grösserer Austausch zwischen den relativen Mengen  
von F und Cl existiert also nicht. Wohl häufiger sind dagegen Beimisch-  
ungen von  $\text{CO}_3$ ,  $\text{SO}_4$  oder  $(\text{OH})_2$ . Hierbei ist aber nicht leicht zu sagen,  
wann Gehalt an diesen Radikalen primär, wann sekundär, d.h. durch  
Verwitterung beigebracht ist. Es ist aber wahrscheinlich, dass min-  
destens die zwei ersteren primäre Bestandteile sind.

Der Teil des Ca, der in der Phosphatmolekel gebunden ist, kann auch  
teilweise isomorph ersetzt werden, und zwar durch verschiedene zwei-  
wertige basenbildende Elemente, wie Fe, Mn, Mg, auch durch das drei-  
wertige Ce und andere seltene Erdmetallen.

<sup>1</sup>  $\text{K}_2\text{O}$  spielt hierbei meistens im Vergleich mit  $\text{Na}_2\text{O}$  eine untergeordnete Rolle.



## II.

## LICHT- UND DOPPELBRECHUNG UND DEREN ABHÄNGIGKEIT VON DER CHEMISCHEN ZUSAMMENSETZUNG.

Die Apatite sind bekanntlich optisch einachsig, obwohl Ausnahmefälle vorkommen, wie bei den wasserhaltigen Karbonatapatiten, die auch streng genommen keine Apatite sind. Die Lichtbrechung ist durchgehend hoch, rund 1,640 für den ordinären Strahl im Na : Licht. Die Doppelbrechung ist auffallend niedrig, — meistens 0.004—0.003, zuweilen aber darunter, bis 0.0016. Der optische Charakter ist beinahe ohne Ausnahme negativ.

Wenden wir uns zunächst der *Lichtbrechung* zu, können wir aus dem jetzt vorliegenden, recht umfassenden Beobachtungsmaterial feststellen, dass die verschiedenen Apatite recht abweichende Werte aufweisen. Gemäss der Zusammenstellung, die ich auf Grund des im Doelter's Handburch der Mineralchemie veröffentlichten Materials sowie anderer Arbeiten gemacht habe, geht hervor, dass die höchsten Werte bei 1.6691  $\omega_{\text{Na}}$  und bei 1.6653  $\epsilon_{\text{Na}}$  liegen (Ödegaarden, Bamle), während die niedrigsten 1.6335  $\omega_{\text{Na}}$  resp. 1.6316  $\epsilon_{\text{Na}}$  sind (Auburn, Maine).

Diese Schwankungen der Lichtbrechung sind auch den früheren Forschern nicht entgangen. So beobachtete Zimanyi (1894) für Apatite aus Jumilla, Murcia, Sulzbachtal, Zillertal und »Tirol« wechselnde Werte, die er als durch verschiedene chemische Zusammensetzung hervorgerufen ansah. Jedoch teilt er keine chemische Analysen zur Bestätigung mit. 1907 fand Walter, dass Apatite aus Epprechtstein, Bayern und Luxullian, Cornwall mit steigendem Gehalt an Mn eine Erhöhung sowohl der Licht- wie der Doppelbrechung aufweisen. Dass Fe in den Apatiten eine ähnliche Rolle spielen soll wie z. B. in den Silikaten scheint natürlich. Diese Vermutung wird auch im Folgenden näher dargelegt.



Im Jahre 1908 erschien die Untersuchung von H. B a u m h a u e r über die Licht- und Doppelbrechung der Apatite. Er fand, dass mit abnehmendem Wert des Fundamentalwinkels ( $c : x$ ) sowohl Licht- wie Doppelbrechung zunehmen. Dies soll aber nur für klare, farblose Kristalle gelten, während die farbigen sich abweichend verhalten. B a u m h a u e r spricht die Hoffnung aus, dass dieses Studium noch weiter fortgesetzt werden möchte.

P e h r m a n (1925) beobachtete, dass die chlorreichen Apatite höhere Lichtbrechung zu haben scheinen.

Der Verfasser griff die Frage über die optischen Verhältnisse der Apatite damit an klarzulegen, inwieweit ein steigender Chlorgehalt die Lichtbrechung beeinflusst. Ich errichtete ein Diagramm mit den Werten des ordinären Strahls als Ordinate und den Werten des Chlorgehalts in Gewichtsprozent als Abscisse. Als normative Linie im Diagramm benutzte ich N a c k e n s (1912) teoretische Linie, deren Endpunkte den Wert der Lichtbrechung des ordinären Strahls im Na: Licht des syntetischen  $\text{CaF}_2$ : Apatits einerseits und des syntetischen  $\text{CaCl}_2$ : Apatits anderseits darstellen. Die natürlichen Apatite ordnen sich nun sehr schlecht dieser Linie entlang. Abgesehen davon, dass die meisten Apatite sich auf dem Feld im Diagramm anhäufen, wo Apatite mit weniger als 1 % Cl eingeräumt sind, stehen sie von der erwähnten teoretischen Linie ziemlich weit ab, desto mehr, je chlorärmer sie sind. Anderseits folgen die chlorreicheren Apatite mehr der teoretischen Linie, wie der Apatit aus Blaue Kuppe mit 2.06 % Cl, der Apatit aus dem New Concord Meteorit mit 4.87 % Cl und der Ap. aus Ödegaarden, Bamle mit 5.8 % Cl. Aus diesen Punktlagen geht immerhin hervor, dass, wie schon früher wahrgenommen worden ist, ein zunehmender Chlorgehalt die Lichtbrechung steigert. Hierbei muss, wie man sieht, der Chlorgehalt schon recht beträchtlich sein, sonst tritt keine solche Übereinstimmung hervor. Bei den Fluorapatiten, die nur wenig Cl führen, überdecken nämlich die Wirkungen anderer Komponente dieselben des Chlors, wie wir weiter unten sehen werden.

Die teoretische Linie von Nacken bleibt also



die normative Linie für die Lichtbrechungsveränderung der natürlichen Apatite mit wachsendem Chlorgehalt. Mit jedem % Cl steigt die Lichtbrechung umg. 0.0050.

Danach untersuchte ich mit Hilfe einer ähnlichen diagrammatischen Zusammenstellung den Einfluss des Mangangehaltes. Die Manganapatite, bei denen die Lichtbrechung bestimmt worden ist, sind wohl nicht viele. Die Linie der Lichtbrechungsveränderung erhielt ich jedoch mit Hilfe folgender Apatite: Luxullian, Cornwall (4.10 % MnO) New Ross, N. Sc. (3.12 % MnO) Antsongombato, Madagascar (1.80 % MnO) und Gletsch, Rhône-gletscher (0.39 % MnO). Diese sind alle chlorfrei, weswegen der Einfluss des Cl auch nicht eliminiert werden braucht. Der Endpunkt der Linie stellt den reinen syntetischen Fluorapatit dar. Ein steigender Mangangehalt bewirkt also eine Erhöhung der Lichtbrechung der Apatite. Mit jedem Gew. prozent MnO steigt die Lichtbrechung (wenn andere störende Einflüsse eliminiert werden) umg. 0.0030.

Nachdem der Einfluss des Gehaltes an MnO festgestellt worden war, konnte ich, ungeachtet des zur Verfügung stehenden recht dürftigen Materials eine ähnliche »Eisenlinie« konstruieren. Weil in den meisten von diesen Apatiten auch Mn vorhanden ist, war es nötig den Einfluss des letzteren Bestandteiles zu eliminieren. Um die geringen Mengen des Fe verwerten zu können fand ich es am Zweckmässigsten alles  $\text{Fe}_2\text{O}_3$  als FeO umzurechnen, weswegen das »FeO« im Diagramm »Total-eisenoxid« bedeutet. Die hierbei erhaltene Linie stützt sich hauptsächlich auf New Ross (2.27 % FeO), weiter auf Jumilla, Murcia (0.96 % FeO) und einigen anderen mit noch weniger FeO: Gehalt. Es zeigt sich, dass ein zunehmender Gehalt an FeO die Lichtbrechung bedeutend steigert, ungefähr gleich stark wie im Falle des MnO (0.0040). Die Resultate stehen ja in Übereinstimmung mit den Erfahrungen bei den Silikaten und anderen Fe- und Mn-haltigen Mineralien, die man chemisch und optisch näher untersucht hat.



Weiterhin untersuchte ich den Einfluss des Gehaltes an Alkalien auf die Lichtbrechungsverhältnisse. Zu diesem Zweck nahm ich mir vor ein ähnliches Diagramm wie oben zu konstruieren. Auf der Abscisse mass ich den »Totalfluorgehalt« in Gewichtsprozent aus, dabei alles Cl als F umrechnend. Alkalihaltige Apatite stehen für eine solche statistische Behandlung auch nicht viele zur Verfügung, wenigstens solche, bei denen Bestimmungen der Lichtbrechung vorliegen. Diese Apatite ordnen sich nun im Diagramm derart, dass mit abnehmendem Gehalt an F zugleich der Gehalt an Alkalien zunimmt (siehe oben Seite 24). Nachdem ich alle Punkte abgestochen hatte, unternahm ich verschiedene Korrekturen der Lichtbrechung mit Hilfe von den Koeffizienten für Cl, MnO und FeO.

Es zeigte sich nun, dass die alkaliführenden Apatite mit zunehmendem Gehalt an Alkalien<sup>1</sup> nur wenig abweichende Werte der Lichtbrechung aufweisen, oder richtiger gesagt, die Veränderung ist praktisch genommen für  $\omega_{Na}$  ungefähr gleich Null.

Zum Schluss gebe ich eine tabellarische Zusammenstellung über die empirischen Werte der Lichtbrechung des ordinären Strahls verschiedener Apatite und über deren wichtigsten beeinflussenden Bestandteile, die also zu Korrekturen Veranlassung gegeben haben:

*Tabelle über die Werte der Lichtbrechung des ordinären Strahls verschiedener Apatite und über deren wichtigsten beeinflussenden Bestandteile (Gew. %).<sup>2</sup>*

Fundort	$\omega_{Na}$	F	Cl	SO <sub>3</sub>	»Tot. FeO«	MnO	»Tot. Na <sub>2</sub> O«
74. Ödegaarden, Bamle ...	1.6691	—	5.80	—	0.67	—	—
72. Synt. Ce : Apatit .....	1.6669	—	—	—	—	—	—
55. Synt. CaCl <sub>2</sub> : Apatit ...	1.6667	—	6.80	—	—	—	—
75. New Ross, N.Sc. ....	1.6570	1.84	—	—	2.27	3.12	—
79. New Concord Meteor...	1.6550	—	4.87	—	—	—	—
66. Rossa, Val Devero.....	1.6508	Sp.	0.05	—	—	—	N.b.

<sup>1</sup> Als »Totalnatriumoxid« umgerechnet.

<sup>2</sup> Gehalt an »Tot. Na<sub>2</sub>O« ist mit eingenommen, um das Defizit an F in den entsprechenden Apatiten zu erklären. Die Alkalien haben, wie oben gezeigt worden ist, keinen nennenswerten Einfluss auf die Lichtbrechung.



Fundort	$\omega$ Na	F	Cl	SO <sub>2</sub>	»Tot. FeO»	MnO	»Tot. Na <sub>3</sub> O»
25. 44 Pisek, Böhmen .....	1.6482	3.56	Sp.	—	—	Sp.	—
24. Zillertal, Tirol .....	1.6461	1.54	—	—	—	—	—
67. Blaue Kuppe, Eschw. .	1.6449	1.18	2.06	—	0.85	Sp.	Sp.
50. Luxullian, Cornw. ....	1.6426	2.53	0.13	—	0.33	4,10	1.57
67. Katzenbuckel, Odenw..	1.6392	2.23	0.83	0.59	0.11	1.76	0.38
74. Antsongombato, Mad.	1.6390	3.46	0.20	—	—	1.80	—
24. Jumilla, Murcia .....	1.6389	1.98	0.24	—	0.48	—	0.44
52. Knappenwand, Tirol ..	1.6385	3.63	0.03	—	—	—	—
64. Laacher See .....	1.6383	1.64	0.16	1.13	0.63	—	2.70
42. 47 Malmberget, Gellivare	1.6381	3.67	0.19	—	0.24	—	—
63. Nordmarken, Schweden	1.6377	3.07	0.05	—	—	0.06	—
50. Luxullian .....	1.6375	2.63	0.10	—	0.27	1.74	1.78
78. Åbo, Finnland .....	1.6370	1.95	0.47	—	—	Sp.	2.05
62. Sunk, Steiermark .....	1.6358	3.02	—	—	0.08	—	—
46. Gletsch, Rhône-gl .....	1.6356	2.93	Sp.	—	0.35	0.39	0.83
32. Sulzbachtal, Tirol .....	1.6355	3.63	0.03	—	0.48	—	—
69. Mansjö, Schweden .....	1.6340	3.75	0.10	—	0.31	—	—
50. Epprechtstein, Bayern	1.6338	2.41	0.04	—	0.45	0.79	1.63
» Luxullian .....	1.6337	2.60	0.07	—	0.21	0.39	1.82
40. Auburn, Maine .....	1.6335	2.38	—	—	0.30	0.85	0.54
55. Synt. CaF <sub>2</sub> : Apatit ....	1.6325	3.80	—	—	—	—	—

Kommen wir dann zur *Doppelbrechung* der Apatite über. Wie bekannt ist diese meistens sehr gering, und die Schwankungen, die bis jetzt bei den verschiedenen Apatiten gefunden worden sind, können schon aus diesem Umstande nicht bedeutend sein. Sie sind immerhin vorhanden, und beim genaueren Studium findet man, dass diese Schwankungen gleich wie diejenigen der Lichtbrechung ihre speziellen Ursachen haben.

Um diese Ursachen näher klarzulegen nahm ich mir vor ähnliche Diagramme wie im vorigen Falle zu konstruieren.

Zuerst untersuchte ich den Einfluss des MnO :Gehaltes. Als Endpunkte der Linie dienten der syntetische, reine CaF<sub>2</sub> :Apatit nach N a c k e n mit 0.003 und der Apatit von Västana, Schweden, (5.95% MnO) mit — 0.0037 (Västana ist ein Fluorapatit ohne Cl) weiter der Apatit von New Ross (3.12 % MnO). Dagegen bleibt eine ganze Anzahl von Apatiten weit unterhalb der MnO-Linie. Diese sind aber alle zugleich Alkaliapatite, am meisten die, die zu unterst im Dia-



gramm liegen. Es existiert also offenbar ein Zusammenhang zwischen dem Alkaligehalt und der Grösse der Doppelbrechung, wie wir auch später sehen werden.

Die »Eisenlinie« wurde in ähnlicher Weise konstruiert. Hierbei wurde gleich wie im vorigen Falle alles Eisen als  $\text{FeO}$  umgerechnet. Als Endpunkte dieser Linie dienten einerseits der synt. Fluorapatit nach N a c k e n, anderseits der Apatit von New Ross ( $\text{FeO} = 2.27\%$ ), dessen Lage mit dem Koeffizient des  $\text{MnO}$ :Gehaltes vorher korrigiert wurde. Västana fällt bei derselben Korrektur beinahe auf die Linie, nahe an deren unteres Ende. Blaue Kuppe und Jumilla liegen dicht an der Linie, Bamle etwas unterhalb, und noch weiter nach unten der Apatit aus Laacher See; dieser ist aber alkaliführend. Sonst bemerkt man, dass die »Eisenlinie« eine viel steilere Lage annimmt als die »Manganlinie«, m. a. W. dass *der Einfluss des Eisengehaltes auf die Doppelbrechung offenbar viel energischer als der des Mangangehaltes wirkt*. Bei  $2\%$   $\text{MnO}$  ist nämlich die Doppelbrechung  $0.00322$ , während sie bei  $2\%$   $\text{FeO}$  nicht weniger als  $0.0062$  sein soll, vorausgesetzt dass wir mit einem  $\text{CaF}_2$ :Apatit zu tun hätten.

Kommen wir dann zum Einfluss des Chlorgehaltes. Wie aus N a c k e n's syntetischen Untersuchungen hervorgeht, steigt die Doppelbrechung von  $\text{CaF}_2$ :Apatit bis zum  $\text{CaCl}_2$ :Apatait, oder von  $0.0030$  bis  $0.0053$ . Wegen Mangel an Material können sehr wenige natürliche Chlorapatite in ein solches Diagramm eingetragen werden. »Blaue Kuppe« mit  $2.06\%$   $\text{Cl}$  hat wie zu erwarten eine ziemlich hohe Doppelbrechung, nämlich  $0.0043$ , Ap. aus New Concord Meteorit mit  $4.87\%$   $\text{Cl}$   $0.0040$ , »Ödegaarden, Bamle« dagegen weist einen etwas zu niedrigen Wert auf  $0.0038$ , trotz des hohen  $\text{Cl}$ :Gehaltes ( $5.8\%$ ).

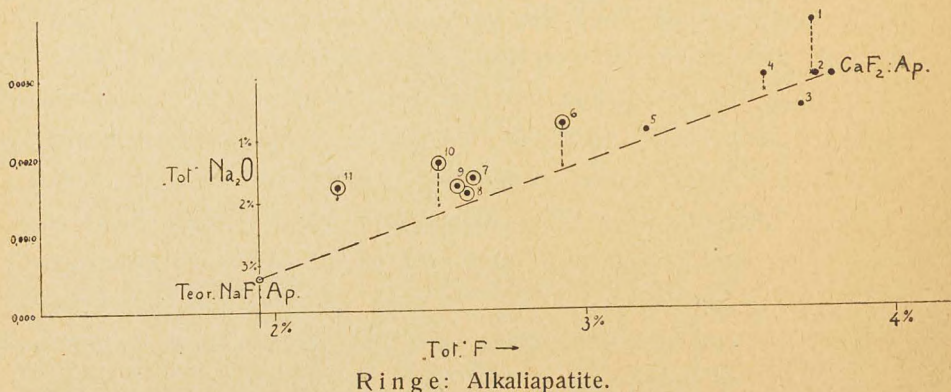
Zum Schluss nahm ich mir vor den Einfluss des sogenannten Fluordefizits der Apatite<sup>1</sup> auf die Doppelbrechung zu untersuchen. Zu diesem Zweck rechnete ich alles  $\text{Cl}$ ,  $\text{SO}_3$  und  $\text{CO}_2$  als  $\text{F}$  um und bekam dadurch

---

<sup>1</sup> Richtiger gesagt: Halogenendefizit.



das »Totalfluor« in Gewichtsprozenten ausgedrückt, und trug die Werte in eine Abscisse eines Diagramms ein. Als Ordinate dienten die verschiedenen Werte der Doppelbrechung der Apatite. (Siehe Fig. 6!).



Ringe: Alkaliapatite.

1. Västana, Schonen. — 2. Mansjö, Hälsingland. — 3. Sulzbachtal, Tirol. — 4. Antsongombato, Mad. — 5. Nordmarken, Värmland. — 6. Gletsch, Rhône-gl. — 7. Luxullian, Cornwall. — 8. Epprechtstein, Bayern. — 9. Luxullian. — 10. Auburn (Minot), Maine. — 11. Åbo, Finnland.

Dieses Diagramm trägt den Charakter einer Versuchskonstruktion. Teils sind die Daten zu spärlich, teils sind manche unter diesen nicht klar (s. u.). Bei 7. 8. u. 9 sind Korrekturen für  $\text{MnO} + \text{FeO}$  nicht vorgenommen, weil die Mengen dieser Best. teile in Widerspruch mit der betr. Doppelbrechung stehen (vergl. oben!).

Fig. 6.

Nach durchgeführten Korrekturen in Bezug auf den »Mangan«- und »Eisen-Gehalt« (neben dem unbedeutenden Cl :Gehalt) in vertikaler Richtung bekam ich eine Reihe von Punktlagen, die sehr deutlich zeigt, wie diejenigen Apatite, die Alkalien enthalten, eine niedrigere Doppelbrechung haben, und zwar desto mehr je mehr von diesen vorhanden ist. Ich konnte eine Linie konstruieren, eine »Alkalilinie«, die vom Punkt des synt.  $\text{CaF}_2$  :Apatits nach links fällt. (Fig. 6). Entlang dieser Linie ordnen sich also die alkaliführenden Apatite, und je tiefer nach links sie zu liegen kommen, desto mehr an Alkalien führen sie. Gletsch, der von den Apatiten dieser Art am höchsten in der Reihe liegt, hat dem entsprechend den niedrigsten Wert der Alkalien oder »Tot.  $\text{Na}_2\text{O}$ « -0.83 %. während Åbo, der am Tiefsten liegen sollte (nach Korr. mit Cl) »Tot.  $\text{Na}_2\text{O}$ « = 2.05 % aufweist.



Wie im Diagramm der Lichtbrechung gibt es freilich auch hier eine Reihe von Ausnahmen, die mehr oder weniger störend auftreten. Der Apatit von Laacher See liegt, obwohl alkalihaltig, viel zu hoch im Diagramm, auch nach Korrektion mit  $\text{MnO}$  und  $\text{Cl}$ . Hierbei ist aber zu bemerken, dass das Mineral ziemlich viel  $\text{SO}_3$  führt, und den Betrag dieser Korrektion kennen wir nicht. Wahrscheinlich käme der Punkt mit der letzteren auf der »Alkalilinie« zu liegen, und zwar nahe am unteren Ende, was auch der hohe Gehalt an »Alkalien« - 2.7 % berechtigt. Der Apatit von Åbo käme noch etwas weiter nach unten, wenn wir Korrektion für den Eisengehalt (der aus der Analyse nicht hervorgeht) ausführen könnten. Der Apatit von Nordmarken ist seiner Lage nach zu urteilen möglicherweise ein Alkaliapatit, ebenso der von Sulzbachtal. Eine ganz abnorme Lage würde der Apatit von Pisek einnehmen, der, obwohl ein ausgeprägter  $\text{CaF}_2$ -Apatit, eine Doppelbrechung von nicht weniger als 0.0051 zeigt. Ebenso käme der alkali-führende Apatit von Katzenbuckel in eine ganz unerwartete Position, ungeachtet der vorgenommenen Korrekturen. Für diese Fälle müssen Erklärungen noch gefunden werden.

Alles im Allen finden wir, dass ein Gehalt an Alkalien auf den Betrag der Brechung des extraordinären Strahls erhöhend wirkt, so dass die Doppelbrechung erniedrigt wird. In Bezug auf die Doppelbrechung wirkt also ein Alkaligehalt nur *in positivem Sinn*, weil, wie gesagt die Apatite optisch negativ sind. In negativer Richtung wirken dagegen ein Gehalt an  $\text{FeO}$  und  $\text{MnO}$  sowie an  $\text{Cl}$ . Es findet also ein Wechselspiel verschiedener Bestandteile statt, und will man das Wirkungsdiagramm eines einzelnen Komponentes konstruieren, muss man folglich alle anderen Einflüsse eliminieren. Man wird also finden, dass z. B. eine Tabelle, wie die von Wolff und Palache (1902) aufgestellte, wo nur  $\text{F}$  und  $\text{Cl}$  aus dem chemischen Bestand herausgegriffen sind, keine nähere Beziehungen zwischen Chemismus und physikalischen Eigenschaften zeigen kann. Dasselbe gilt ebenso der tabellarischen Zusammenstellung von Pehrman (1925), wo die Apatite teils nach abnehmendem Molekularprozent an  $\text{F}$ :Apatit, teils an  $\text{Cl}$ :Apatit geordnet sind.



Tabellarische Uebersicht über die Doppelbrechung der Apatite und die wichtigsten beeinflussenden Bestandteile (Gew. %).

Fundort	$\omega-\varepsilon$	MnO	FeO	F	Cl	CO <sub>2</sub>	»Tot. Na <sub>2</sub> O«
82. Synt. CaCO <sub>3</sub> : Apatit .	0.0090	—	—	—	—	4.2	—
75. New Ross, N. Sc. ....	0.0070	3.12	2.27	1.84	—	—	—
72. Synt. NaCl: Apatit ...	0.0058	—	—	—	4.85	—	2.11
66. Rossa, Val Devero.....	0.0054	—	—	Sp.	0.05	—	N.b.
55. Synt. CaCl <sub>2</sub> : Apatit ...	0.0053	—	—	—	6.8	—	—
25. 44. Pisek, Böhmen .....	0.0051	Sp.	—	3.56	—	—	—
61. Santa Clara, Cal. ....	0.0050	—	0.24	—	—	1.03	—
67. Katzenbuckel, Odenw.	0.0048	1.76	0.11	2.23	0.83	—	0.38
24. Zillertal, Tirol .....	0.0044	—	—	1.54	—	—	—
52. Rothenkopf, Zillert. ...	0.0043	—	—	N.b.	0.085	—	—
67. Blaue Kuppe, Eschw .	0.0043	Sp.	0.45	1.18	2.06	Sp.	Sp.
79. New Concord Meteor .	0.0040	—	—	—	4.87	—	—
Ödegaarden, Bamle <sup>1</sup> .	0.0038	—	0.67	—	5.80	—	—
42. 47. Malmberget, Gellivare	0.0038	—	0.24	3.67	0.19	—	—
36. Västana, Schonen .....	0.0037	5.95	—	3.74	Sp.	—	—
69. Ersby, Pargas <sup>2</sup> .....	0.0035	—	0.86	2.70	Sp.	0.45	—
64. Laacher See, Rheinl. .	0.0033	—	0.63	1.64	0.16 (SO <sub>3</sub> -1.13)	2.70	—
69. Mansjö, Schweden ...	0.0030	—	0.31	3.75	0.10	0.41	—
55. Synt. CaF <sub>2</sub> : Apatit ...	0.0030	—	—	3.8	—	—	—
62. Sunk, Steiermark .....	0.0030	—	0.08	3.02	—	—	—
70. Antsongombato, Mad. .	0.0030	1.80	—	3.46	0.20	—	—
52. Knappenwand, Tirol .	0.0029	—	0.39	3.63	0.03	—	—
» Göschenen .....	0.0027	—	—	3.63	0.01	—	—
32. Sulzbachtal, Tirol ...	0.0026	—	0.48	3.63	0.03	—	—
12. St. Gotthard .....	0.0025	—	—	—	0.03	—	—
46. Gletsch, Rhonegl. ....	0.0024	0.39	0.35	2.93	Sp.	—	0.83
63. Nordmarken, Schweden	0.0023	0.06	—	3.07	0.05	—	—
40. Auburn, Maine .....	0.0019	0.85	0.3	2.38	—	—	0.54
50. Luxullian, Cornwall ...	0.0017	4.10	0.33	2.53	0.13	—	1.57
» » » ...	0.0016	1.74	0.27	2.63	0.10	—	1.78
78. Åbo, Finnland .....	0.0016	—	—	1.95	0.47	—	2.05
50. Epprechtstein, Bayern.	0.0015	0.79	0.45	2.41	0.04	—	1.63

Gleich wenig wie in der früher erwähnten Tabelle stellt sich hier eine Regelmässigkeit heraus, was auch P e h r m a n selbst hervorhebt.

<sup>1</sup> Anal. Waage in: Brögger u. Reusch: Vork. des Ap. in Norwegen. Zeitschr. d. d. Geol. Ges. XXVII. 1875. Pag. 674.

<sup>2</sup> Die opt. u. chem. Daten bez. sich nicht auf dieselbe Spezies. (Vergl. A. Laitakari: Bull. Comm. géol. de Finlande. N:o 54. 1920. Pag. 91).



Betreffs der Doppelbrechung der Apatite ist *Pehrman* zu dem Schluss gekommen, dass dieselbe im Grössen genommen mit abnehmendem F:Gehalt abnimmt, eine Erfahrung, die sich mit dem früher in dieser Abhandlung geäusserten deckt.

### III.

#### SPEZIFISCHES GEWICHT UND DESSEN ABHÄNGIGKEIT VON DER CHEMISCHEN ZUSAMMENSETZUNG.

Dass die Apatite eine beträchtliche Schwankung in Bezug auf das spezifische Gewicht aufweisen, hat man schon längst beobachtet. So fand *G. Rose* (1827) Werte zwischen 3.166 und 3.235 (aus 10 Apatiten). Dass diese Schwankungen im Zusammenhang mit dem relativen Mengenverhältnis von F und Cl ständen, konnte er jedoch nicht nachweisen. *Pusirewsky* hat nachher (1862) mehrere russische Apatite untersucht und verschiedene Werte gefunden, die er mit den relativen Mengen von Cl verbindet, obwohl der Chlorgehalt seiner Apatite überhaupt sehr unbedeutend ist (bis 0.8 %). Eine solche Abhängigkeit ist, wie wir sehen werden, sehr unwahrscheinlich, denn er hat gar nicht andere, vielleicht kräftiger wirkende Faktoren in Rechnung gezogen. *Pusirewsky* sagt übrigens selbst, dass Unregelmässigkeiten des Sp. Gew. im Verhältnis zum Chlorgehalt wahrscheinlich auf mangelnder Reinheit des Materials beruhen.

In der Tat ist der Unterschied im spezifischen Gewicht zwischen  $\text{CaF}_2$ - und  $\text{CaCl}_2$ -Apatit sehr unbedeutend, wie Bestimmungen an reinen syntetischen Produkten gezeigt haben. Im vorigen Falle hat man ein spez. Gewicht von 3.18, im letzteren von 3.17. Gemäss einer Zusammenstellung, die der Verfasser aus der Literatur gemacht hat, bewegen sich die Werte des spez. Gewichtes bei den natürlichen Apatiten am meisten um diese Zahlen. Die obere Grenze der gewöhnlichen



(Fluor-)Apatite liegt ung. bei 3.20, die untere kann jedoch bis 3.094 (Pisek) herabsinken, ohne dass man einsehen kann, welche Faktoren dabei ihren Einfluss ausüben. Das Wahrscheinlichste ist wohl, dass die 'leichteren' Spezies nicht ganz reines Material sind, sondern fremde Einschlüsse beherbergen. Eine Beimengung z. B. von Quarz würde ja das sp. Gewicht herabdrücken, ebenso das Vorkommen von Luft- oder anderen Gasblasen.

Alle diejenigen Apatite, deren sp. Gewicht 3.20 übersteigt, sind von abweichender chemischer Zusammensetzung in so fern, dass Metallbasen von hohen Molekulargewichten durch teilweise Substitution in der Formel vertreten sind.<sup>1</sup> Es handelt sich um dieselben meistens zweiwertigen Metallen, die auch in Bezug auf die optischen Verhältnisse eine bedeutende Rolle spielen, nämlich Mn und Fe.

Kommen wir dann zu denjenigen Apatiten über, die seltene Erden, wie Ce, Y, La und Di (als Substituenten des Ca im Phosphat) aufweisen. Diese Apatite sind, wie bereits früher hervorgehoben, allgemeiner vorkommend, als man vielleicht annehmen könnte. So hat neulich S t a r y n k e v i č - B o r n e m a n (1924) nicht weniger als 23 Apatite mit seltenen Erden aus verschiedenen Fundorten nachgewiesen.

Die spezifischen Gewichte sind bei diesen Apatiten nur noch in seltenen Fällen bestimmt worden. Weil die seltenen Erden alle hohe Atomgewichte haben, ist es klar, dass ein grösserer Gehalt an diesen das spez. Gewicht des Minerals wesentlich erhöhen soll. Die wenigen zugänglichen Daten bestätigen auch diese Annahme. So hat Apatit aus Narsarsuk, Grönland, ein  $\text{CaF}_2$ :Apatit mit 4.88 % selt. Erden, ein spez. Gewicht von 3.24. Ein anderer Apatit aus Ariccia bei Rom mit über 5 % S. E. hat spez. Gewicht 3.23—3.29. Z a m b o n i n i wieder fand (1923) bei einem syntetischen Apatit mit 8 %  $\text{CePO}_4$  ein spez. Gewicht von 3.278.

Betreffs der alkalihaltigen Apatite sind diese im Allgemeinen ung.

---

<sup>1</sup> Ausnahme bildet »Mansjö» mit 3.27, obwohl ein ziemlich reiner F:Apatit (s. u.).



gleich schwer wie die gewöhnlichen Apatite (Max. hat Katzenbuckel mit 3.218<sup>1</sup> und Min. Prinzenstein, St. Goar mit 3.1407).

Die tabellarische Zusammenstellung, die unten folgt, ist nach abnehmendem sp. Gew. geordnet. Weiter habe ich verschiedene Kolumne hinzugefügt, die das Verhältnis des sp. Gew. zu dem Betrag der Lichtbrechung einerseits und zu einigen wichtigeren (beeinflussenden) chemischen Bestandteilen anderseits veranschaulichen.

*Tabellarische Zusammenstellung über die spezifischen Gewichte der Apatite und deren Beziehung zur Lichtbrechung und zu den wichtigsten beeinflussenden Bestandteilen (Gew. %).*

Fundort	Sp. Gew.	$\omega$ Na	MnO »Tot. FeO»	S. E.
53. Chárgaon, Nagpur, Indien ...	3.410	—	Mn : apatit	
14. 16. Branchville, Conn. ....	3.390	—	10.59 0.69	
» San Roque, Argentinien .....	3.380	—	6.72 —	
72. Synt. Ce : Apatit .....	3.300	—	— — 5.9 (Ce <sub>2</sub> O <sub>3</sub> + Y <sub>2</sub> O <sub>3</sub> )	
1. Ariccia, Rom .....	3.290	—	— — 5	
69. Mansjö, Schweden .....	3.270	1.6340	— 0.31	
75. New Ross, N. Sc. ....	3.257	1.6570	3.12 2.27	
65. San Roque, Argent. ....	3.250	—	6.45 —	
» Narsarsuk, Grönland.....	3.240	—	— — 4.88 (Y <sub>2</sub> O <sub>3</sub> + Ce <sub>2</sub> O <sub>3</sub> )	
1. 12. Jumilla, Murcia .....	3.235	1.6382	— —	
65. Ciply, Belgien .....	3.226	—	— 0.29	
36. Västana, Schonen .....	3.225	—	5.95 —	
65. Franklin Furnace, N. J. ....	3.220	—	1.35 0.69	
67. Katzenbuckel, Odenwald.....	1.218	1.6392	1.76 0.11	
28. 65. Schwarzenstein, Zillertal .....	3.215	—	— —	
1. Ehrenfriedersdorf, .....	3.211	—	— —	
78. Åbo, Finnland .....	3.208	1.6392	— —	
62. Sunk, Steiermark .....	3.206	1.6358	— 0.08	
1. 64. Laacher See .....	3.202	1.6383	— 0.63	
79. New Concord Meteor .....	3.200	1.6550	— —	
65. Tiree, Schottland .....	3.200	—	— —	
65. Antsongombato, Madag. ....	3.201	1.6390	1.80 —	
12. Takowaja, Ural .....	3.201	—	— —	
65. Tschimkent, Turkestan .....	3.199	—	0.18 —	

<sup>1</sup> Eig. liegt das Maximum der Alkaliapatite beim Ap. von Åbo mit sp G. = 3.208, denn der Apatit von Katzenbuckel ist etwas Mangan-haltig.



Fundort	Sp. Gew.	$\omega$ Na	MnO »Tot. FeO«
1. 12. St Gotthard .....	3.197	—	— —
46. Gletsch, Rhône-gl. ....	3.195	1.6356	0.39 —
63. Nordmarken, Schweden .....	3.194	1.6377	0.06 —
1. Arendal, Norwegen .....	3.194	—	— —
65. Ritchie Mine, Portl. ....	3.188	—	— 0.08
55. Synt. $\text{CaF}_2$ : Apatit .....	3.180	1.6325	— —
10. 52. Sludianka, Baikal .....	3.178	—	— —
65. Doctor Pitt, Templeton .....	3.175	—	— 0.11
1. Snarum, Norwegen .....	3.174	—	0.25 —
55. Synt. $\text{CaCl}_2$ : Apatit.....	3.170	1.6667	— —
65. North Burgess .....	3.160	—	— 1.15
40. Auburn, Maine .....	3.159	1.6335	0.85 —
67. Blaue Kuppe, Eschwege .....	3.157	1.6449	— 0.85
66. Rossa, Val Devero .....	3.155	1.6507	— —
28. 52. Knappenwand, Untersulzb. T.	3.153	1.6385	— —
» » Rothenkopf, Zillertal .....	3.149	—	— —
65. Branchville, Conn. ....	3.144	—	1.96 0.19
» Prinzenstein, St Goar .....	3.141	—	0.01 0.02
» Storrington .....	3.139	—	— 0.13
24. Zillertal, Tirol .....	3.100	—	— —
25. Pisek, Böhmen .....	3.094	1.6482	Sp. —
61. Santa Clara, Cal. ....	3.060	—	— —

Wie aus dieser Tabelle ersichtlich, ist die Variationsbreite des sp. Gew. der Apatite grösser als man vielleicht geneigt wäre anzunehmen, die — wenn man die extremsten Fälle in Betracht zieht — nicht weniger als 0.350 ausmacht. Der mittlere Wert des sp. Gew. wird oft in den Handbüchern zu 3.180 angegeben und bezieht sich wohl hauptsächlich auf den Fluorapatit.

Vergleicht man die Reihe der sp. Gew. mit der der Brechungsexponenten, findet man, dass eine Kongruenz kaum vorhanden ist, obwohl es ja anzunehmen wäre, dass die Dichte des Minerals sich in der Stärke der Lichtbrechung widerspiegele. Die Ursache dieser mangelnden Übereinstimmung ist wohl nicht leicht zu finden; wahrscheinlich hat man in vielen Fällen mit mechanischen Beimischungen zu tun, die wohl das sp. Gew. erhöhen, nicht aber die Stärke der Brechung. Immerhin zeigt ein schwerer Mn- und Fe-reicher Apatit aus New Ross, N. Sc.



eine auffallend hohe Lichtbrechung =  $\omega$  1.6570 Na, gegen  $\omega$  1.6325 Na für den reinen  $\text{CaF}_2$ :Apatit.

In Bezug auf die chemische Zusammensetzung ist die Übereinstimmung besser. Hier findet man eine deutliche Abhängigkeit des sp. Gew. vom Gehalt an MnO und FeO, ja die schwersten Apatite überhaupt sind ausgeprägte Manganapatite, deren untere Grenze wohl bei 3.218 sp. Gew. gezogen werden könnte (Katzenbuckel).

#### IV.

### DIE KRISTALLOGRAPHISCHE AUSBILDUNG UND DEREN VERHÄLTNIS ZUM CHEMISMUS.

#### *Kristallflächen.*

Die Apatite sind ja oft sehr flächenreich ausgebildet. Die Kristallgestalten sind aber ziemlich wechselnd, besonders in Bezug auf die verschiedenen Dimensionen, wie auch ein Blick in V. Goldschmidt's grossen Atlas der Kristallformen lehrt. Ebenso findet man, dass unter den zahlreichen einfachen Formen bald diese, bald jene habitusbestimmend sind. Die Ursachen dieser wechselnden Ausbildungen sind ohne Kenntnis der näheren paragentischen Umstände wohl schwer zu erklären, und werde ich mich hier mit dieser Frage nicht beschäftigen, die ja ein besonderes Studium erfordert. Ich werde mich nur darauf beschränken, die verschiedenen Formen zu erwähnen und dabei ihre *gegenseitigen Frequenzverhältnisse* zu berücksichtigen. Ich stütze mich teils auf die Abbildungen in Goldschmidt's Atlas, teils auf eigene Beobachtungen an Material, das mir Herr Prof. Borgström aus den Sammlungen des Mineralogischen Instituts der Universität Helsingfors gütigst zur Verfügung gestellt hat.

Die verschiedenen Grundformen der Kristallgestalten der Apatite sind die folgenden:



Das *Grundprisma*  $a$  ( $10\bar{1}0$ ) ist in der Regel vollständig ausgebildet. Das *Prisma 2 Ordnung*  $b$  ( $11\bar{2}0$ ) ist immerhin meistens vorhanden, tritt aber untergeordnet als »Leistchen« auf und ist ausserdem oft nicht vollzählig. Das sechseckige (hemiedrische) *Prisma 3 Ordnung*  $h$  ( $21\bar{3}0$ ) ist selten als schmale »Leistchen« sichtbar, oft nur als eine oder Paar Flächen.

Das Grundprisma ist immer glatt ausgebildet mit guten Reflexen, das Prisma 2 Ordn. zuweilen vertikal gestrichelt (Auburn, Maine).

Die *Basis*  $c$  ( $0001$ ) ist meistens deutlich ausgeprägt und fehlt beinahe niemals. Durch Vorwalten dieser Fläche ist der Kristall oft tafelig ausgebildet. Die Basisfläche hat meistens hohen Glanz gleich wie die Flächen des Grundprismas.

*Pyramidenflächen* sind beinahe immer vorhanden, selten nur eine Form für sich oder eine Ordnung allein. Die gewöhnlichsten sind die *Grundpyramide*  $x$  ( $10\bar{1}1$ ) sowie die übrigen *Pyramide 1 Ordnung*  $r$  ( $10\bar{1}2$ ),  $y$  ( $20\bar{2}1$ ). Selten ist  $z$  ( $30\bar{3}1$ ),  $\alpha$  ( $30\bar{3}2$ ). Dazu kommt noch die *Pyramide 2 Ordnung*  $s$  ( $11\bar{2}1$ ). Während die Pyramiden 1 Ordnung meistens schmale Flächen sind, ist die zuletzt genannte Pyramide immer gut ausgebildet, besonders bei einem mehr gedrungenen Habitus des Kristalls.

Die pyramidale Hemiedrie der Apatite äussert sich in dem Auftreten *hemiedrischer Pyramiden 3 Ordnung*  $m$  ( $21\bar{3}1$ ),  $m_1$  ( $31\bar{2}1$ ) sowie  $n$  ( $31\bar{4}1$ ). Der konsequenten Aufstellung halber könne man die Apatitkristalle immer so drehen, dass  $n$  ( $31\bar{4}1$ ) rechts oben und ( $31\bar{4}1$ ) rechts unten auftritt. Fehlt ( $31\bar{4}1$ ) kann dieselbe Orientierung dadurch erzielt werden, dass die Flächen des Prismas 2 Ordnung geätzt werden, wodurch hemiedrische Figuren entstehen, wie D ü r r f e l d (57. 1912) erhalten hat. Betrachtet man bei dieser Aufstellung die Flächen  $m$  ( $21\bar{3}1$ ) und  $m_1$  ( $31\bar{2}1$ ), wird man finden, dass die erstere, linke glattspiegelnd, die letztere rechte chagriert oder punktiert ist. Die Richtung der Chagrierung läuft schräg nach unten links (jedoch mit der Kante  $s:m_1$  nicht parallel).



Hier unten gebe ich zunächst eine tabellarische Übersicht über die von mir bei Apatiten aus verschiedenen Fundorten beobachteten Flächen und deren Anzahl (Bez. nach V. Goldschmidt):

Fundort	c	w	r	v	x	i	a	s	o	y	m	m	z	n	a	b	h	$\Sigma$ Anzahl Flächen <sup>1</sup>
Achmatowsk .....	'	—	6	—	6	—	—	6	—	5	5	5	—	5	6	6	—	51
» .....	'	—	6	—	5	—	—	6	—	5	6	5	—	6	6	6	—	52
» .....	'	—	6	—	6	—	—	6	—	6	6	4	—	5	6	4	—	51
Floiental, Zillertal .	'	—	6	—	6	—	—	4	—	3	2	2	—	2	6	—	2	34
» .....	'	—	3	—	—	—	—	—	—	—	—	—	—	—	6	—	—	10
» .....	'	1	4	5	6	3	1	5	2	6	3	—	4	4	6	4	4	60
» .....	'	—	5	—	3	—	—	4	—	3	—	2	—	—	5	2	—	24
Minot (Auburn).....	'	—	5	—	6	—	—	5	—	5	4	3	—	—	6	5	—	40
» .....	'	—	4	—	6	—	—	6	—	6	6	6	4	—	6	5	—	50
Salzburg .....	'	—	5	—	5	—	—	6	—	6	3	5	—	5	6	4	—	46
St. Gotthard .....	'	—	5	—	6	—	—	5	—	5	4	—	—	3	6	4	—	40
» .....	'	—	5	—	4	—	—	2	—	4	2	—	—	1	4	1	—	24
» .....	'	—	5	—	5	—	—	5	—	4	4	—	—	4	6	1	—	35
» .....	'	—	6	—	5	—	—	4	—	4	—	3	—	5	6	—	—	34
Sulzbachtal .....	'	—	6	—	6	—	2	6	2	6	5	4	—	6	6	6	1	57
Zillertal .....	'	—	6	4	5	—	—	6	2	4	6	—	—	—	6	2	1	43

### KURZE CHARAKTERISTIK DER GEMESSENEN KRISTALLE

(Die Ordnung dieselbe wie in der Tabelle).

Achmatowsk. — Kleine, waasserklaare Kristalle, die im Goniometer gute Reflexen geben. Basis ist gut entwickelt, XII gedrunken säulenförmig. Prisma dihex. ausgebildet. Pyramidenflächen untergeordnet vorh.

—»— Ebenfalls dihex. ausgebildete, klare Xlle mit breiter Basis. Gute Reflexen.

—»— Ähnlicher Habitus wie vorher. Sämtliche gemessene Xlle haben die Pyramide (n) gut entwickelt, eine sonst nicht häufige Erscheinung.

Floiental, Zillertal. — Wasserklaare, dicktafelförmige Xlle. Pyramide 1 Ordnung schwach ausgebildet. Pyramide (n) unvollst. Prisma 1 Ordn. Dazu Pr. 3 Ordn. schwach ausgeb. (Vergl. Minot).

—»— Dicktafelig nach (c), wasserklaare. Umriss etwas verzerrtes hex. Prisma. Die Flächen geben z. T. schlechte Reflexen. Pyramide (r) ausgeprägt.

—»— Kleiner XII, aber sehr reich an Flächen, dicktafelig nach Basis, farblos, klar. Flächenreich an beiden Enden. Mehrere Pyramidenflächen

<sup>1</sup> Prismenflächen + Endflächen des einen Ende.



- gut ausgebildet u. a. die flache Pyr. (v). Ausserdem andere seltenere Pyr. In der Prismenzone ist (h) hervortretend. Die Anzahl der Pyr. 1 Ordn. sind nicht weniger wie 5, während meistens nur 3 oder höchstens 4 vorhanden sind.
- Floiental. — Klarer dicktafelf. XII. hex. Habitus mit (a) und (s) ung. im Gleichgewicht. Pyr.-flächen 1 Ordn. zurückgedrängt.
- Minot (Auburn) Maine. — Gedrungene, amethystfarbige Säulchen mit Pyramidenflächen kräftig ausgebildet. Basis rel. klein. Grundprisma und (b) beinahe in Gleichgewicht, die letzteren vert. gestrichelt. Die Pyr. Flächen verschiedener Ordnung ung. gleich stark ausgeb. (x) und (y) sind horiz. gestrichelt. Von den hemiedrischen Pyr. Flächen sind (m) und (m,) verschieden in Bez. auf Ätzerscheinungen (s. u.).
- Minot, (Auburn), Maine. — Ähnlicher Habitus und ähnl. Farbe wie vorher. (m) z. T. kräftig ausgebildet. (b), (y) und (z) gestrichelt, die ersteren vertikal.
- Salzburg. — Kleiner farbloser XII, dick-säulenförmig hex. mit Basis. Die Pyramidenflächen sind kräftig ausgebildet bes. (r), (s) und (x). (y), (m) und (m,) schwach vertreten.
- St. Gotthard. — Farblos mit hex. Habitus, (b) als Leistchen vorhanden. Die verschiedenen Pyramiden sind ung. gleich gut ausgebildet, (r) jedoch kräftiger, ist aber horiz. gestrichelt.
- » — — Farbl. oder Tafel-XII von dreiseitigem Umriss. Basis glatt, spiegelnd. Extremes Fall von tafelförmiger Ausbildung, bei Apatiten selten vorh. (in Goldschmidt's Atlas ist dieser Typus nicht vertreten). Verzerrung in der prism. Zone, daher die ungew. Ausbildung.
- » — — Dicktafelförmiger XII nach Basis und mit hex. Prisma. Ziemlich flächenarm. Die meisten Pyr. doch vorhanden. (r) horiz. gestrichelt. Alle Pyr. mit Ausnahme von (s) leistchenförmig ausgeb.
- » — — Kleiner farbloser XII von hex. Habitus. Ung. dieselbe Ausb. wie im vorig. Falle.
- Sulzbachtal. — Wasserklarer. dicktafeliger XII mit glänzenden Flächen und hex. Prisma (Sp. aus der mineralog. Sammlung d. Univ.). (s) ist gut ausgebildet und hält die Pyr. 1 Ordnung ung. in Gleichgewicht. Der Habitus kann wohl als typisch für Drusenapatit gelten.
- Zillertal. — Kleiner, klarer XII, rundlich ausgeb. etwas nach Basis gedrückt. Die Pyr. flächen treten gut hervor, sind jedoch ungleichmässig ausgebildet. (s) ist verhältn. mässig klein.

Auf Grund der Tabelle sowie mit Rücksicht auf die Kombinationen, die in Goldschmidt's Atlas abgebildet sind, könnte man orientierungshalber für die Apatite die folgenden *morphologischen Sätze* formulieren:

1. Bei langprismatischer oder ausgeprägt prismatischer Ausbildung hat man entweder eine pyramidale oder eine basale End-



begrenzung. Im letzteren Fall können die Pyramidenflächen als »Leistchen« vorhanden sein.

2. Ist die Kristallform mehr kurzprismatisch ausgebildet, machen sich die Pyramidenflächen erster und zweiter Ordnung besser geltend, d. h. die  $(c : x)$  und  $(c : s)$  Zonen dominieren die Kristallform, wobei die Basis immer noch sehr deutlich ausgebildet ist. In den Zonen  $(c : s)$  (zweiter Ordnung) sind die Prismenflächen deutlich ausgebildet, obgleich es zu einem Gleichgewicht zwischen erster und zweiter Ordnung nicht kommt.
3. Wird der Kristallhabitus noch mehr gedrunken, fangen hemiedrische Flächen an sich geltend zu machen, die alle in der Zone  $(b : s)$  liegen. Von den hemiedrischen Pyramidenflächen sind drei nur in Ausnahmefällen vorhanden, meistens sind es zwei oder eher nur eine. Durch das Auftreten von sechs hemiedrischen Flächen einer Pyramide entsteht eine Pseudoholoedrie, die in einigen Fällen recht täuschend sein kann (Elba, Ala, Kirjabinsk, St Gotthard, Devonshire). Der Apatit von Minot (Auburn), Maine weist äusserlich eine ähnliche »Holoedrie« auf, beim genaueren Studium zeigt es sich aber, dass die  $(m)$  und  $(m_1)$  Flächen physikalisch verschieden sind.
4. Kommen wir dann zur isometrischen Ausbildung, die eine Pseudokugelgestalt annimmt. Die meisten Flächen scheinen hierbei in Gleichgewicht zu sein. Es ist dies offenbar der am meisten vorteilhafte Fall der Flächenentwicklung aller theoretisch möglichen Formen des Minerals. (Beisp. Tavetsch, Floitental).
5. Wächst die Basis, gelangt man zu der tafeligen Ausbildung, die sich mehr oder weniger an eine Scheibenform (St Gotthard) nähert. Ein Übergangstypus ist eine plattkugelige Gestalt, wo  $(b)$  und  $(s)$  besonders deutlich hervortreten und einander das Gleichgewicht halten. Die Pyramidenflächen erster Ordnung sowie die hemiedrischen Pyramidenflächen treten nur als Leistchen auf. Prisma zweiter Ordnung kann nur als kantenab-



stumpfend auftreten. (Epprechtstein, Bayern). Diese plattgedrückte Form scheint ziemlich gewöhnlich zu sein, doch nicht so häufig wie die isometrische oder die dicksäulenförmige Ausbildung. Die ausgeprägte Tafelform dagegen kann wohl zu den Seltenheiten gerechnet werden (St Gotthard).

Niggli (1926) teilt die hexagonalen und die hypohexagonalen Mineralien in drei Gruppen ein: solche die tafelförmig nach der Basis ausgebildet sind (planare Form), solche die mehr isometrische Form aufweisen und solche die einen langprismatischen (linearen) Habitus besitzen. Die Apatite führt er zur mittleren Gruppe, eine Zuteilung, die wohl in manchen Fällen zutreffend ist, aber auch viele Ausnahmen aufweist, wie wir oben gesehen haben.<sup>1</sup>

Betreffs der *Flächenfrequenz* im Allgemeinen könnte man die Behauptung aussprechen, dass je mehr die Kristallausbildung sich dem isometrischen Habitus nähert, desto flächenreicher wird der Kristall. Der am meisten Formenreichtum begünstigende Fall ist die pseudokugelige Ausbildung, wie die Apatite von Tavetsch, Floitental besonders gut zeigen. Bei langprismatischer Form sind nur die flacheren Pyramiden (als Endbegrenzung) vorhanden, bei planarer Ausbildung wieder hat man meistens nur steilere Pyramidenflächen, die in Kombination mit dem Prisma auftreten. Diese Erfahrung steht in Übereinstimmung mit den neulich von Borgström<sup>2</sup> dargelegten, auf geometrischer Grundlage fussenden Bedingungen für die Entstehung von Flächenkombinationen. Denn je kleiner die Normalenwinkel zwischen zwei Flächen sind, um so mehr müssen deren Wachstumsgeschwindigkeiten sich einander nähern, um eine gleichzeitige Entwicklung zu ermöglichen. Bei pseudokugeligem, flächenreicher Ausbildung sind die Wachstumsgeschwindigkeiten der verschiedenen Flächennormalen einander ziem-

<sup>1</sup> Vergl. R. L. Parker (1926. 83).

<sup>2</sup> L. H. Borgström: Die geometrische Bedingung für die Entstehung von Kombinationen. Zeitschr. f. Krist. Band LXII. Pag. 1.



lich ähnlich, während anderseits bei tafeliger Form alle diejenigen Pyramidenflächen, die einen kleineren Normalenwinkel mit der Basis bilden, von dieser unterdrückt werden, weil in der Richtung der Basis-Normale ( $c$ :Achse) eine besonders niedrige Wachstumsgeschwindigkeit sich geltend gemacht hat.

### ACHSENVERHÄLTNISSE DER APATITE.

Das Verhältnis  $a:c$  der Apatite ist gemäss einer grösseren Anzahl von Messungen zuverlässiger Art recht grossen Schwankungen unterworfen. Diese Schwankungen sind unten<sup>1</sup> in einer Tabelle zusammengestellt, und zwar nach abnehmendem Wert der  $c$ :Achse. Gleichzeitig sind an jedem Spezies die wichtigsten chemischen Bestandteile angegeben.

Der erste, der schwankende Werte des Fundamentalwinkels der Apatite aus verschiedenen Fundorten nachwies, war Gustav Rose (1827). Gestützt auf einer grösseren Anzahl sorgfältig ausgeführten Messungen konnte er feststellen, dass da, wo eine identische chemische Zusammensetzung vorhanden ist, stimmen auch die übrigen (d. h. die morphologischen) Eigenschaften überein, und ist man folglich im Stande aus einer gleichen chemischen Zusammensetzung auf gleich grossen Fundamentalwinkel zu schliessen, nicht aber umgekehrt. In seinem Lehrbuch der Mineralogie vom Jahre 1828 betonte C. F. Naumann demgemäss, dass die Veränderungen des Fundamentalwinkels von der relativen Menge des Fluors und Chlors abhängig sind. In seiner wichtigen Abhandlung über Apatite kommt N. von Kokscharow (1854—57) zu einem ähnlichen Schluss: »Im Allgemeinen kann man annehmen, dass die Flächen der haupthexagonalen Pyramide  $x(10\bar{1}1)$  zum basischen Pinakoid  $P(0001)$  in den Apatiten, die kein Chlor



enthalten, oder bloss Spuren desselben zeigen, unter dem Winkel  $40^{\circ}28'$  geneigt sind. Dagegen ist in allen chlorhaltigen Apatiten diese Neigung etwas grösser.»

Etwas später führte P. I. P u s i r e w s k y (1862) eine chemisch-kristallographische Untersuchung über russische Apatite aus und konnte nachweisen, dass die obige Vermutung begründet zu sein scheint. Der Cl:Gehalt in den von ihm untersuchten Apatiten übersteigt jedoch nicht 0.8 %.

In weiterer Übereinstimmung mit der angeführten Regel stellte v. K o k s c h a r o w (1866) eine Tabelle auf, wo er den Zusammenhang näher zum Ausdruck brachte. Die Differenz des Fundamentalwinkels zwischen chlorfreiem Apatit (Ehrenfriedersdorf) und einem chlorhaltigen (0.51 % Cl, Achmatowsk) beträgt  $12'$ .

1891 unterwarf H. B a u m h a u e r Apatite aus verschiedenen Fundorten genaueren Messungen und konnte feststellen, dass der Fundamentalwinkel recht beträchtlichen Schwankungen unterworfen ist, wodurch die Achsenverhältnisse recht verschieden sind. Diese letzteren bewegen sich zwischen den Werten:  $1:0.73131$  und  $1:0.73400^1$  und scheinen nach ihm, wie auch die früheren Autoren betont haben, von der Menge des Chlors abhängig zu sein.

Manche spätere Untersuchungen an Apatiten haben jedoch gezeigt, dass die von P u s i r e w s k y, B a u m h a u e r u.a. ausgesprochene Vermutung über die Abhängigkeit des Achsenverhältnisses vom Chlorgehalt nicht zutrifft. So findet man aus der tabellarischen Zusammenstellung von W o l f f und P a l a c h e (1902), dass keine solche Regelmässigkeit gezeigt werden kann, so lange man nur Apatite, die sehr arm an Chlor sind, in Betracht gezogen hat. Nur so viel könnte

---

<sup>1</sup> Beim Messen eines Apatitkristalls von Blagodät, Ural erhielt K a r n o j i t z k y (1894) sehr verschiedene Werte an den sechs Winkeln der Grundpyramidenflächen, woraus sich ein Achsenverhältnis ergab, das zwischen  $1:0.72625$  und  $1:0.739008$  bewegt, eine Differenz die zu gross ist um innerhalb Fehlergrenzen liegen zu können. Der Maximalwert übertrifft ja bei weitem den in der untenstehenden Tabelle.



man behaupten, dass ein Apatit mit kleinem Fundamentalwinkel ( $c:x$ ) als praktisch chlorfrei angesehen werden kann.

Hier gebe ich zunächst eine kleinere Zusammenstellung verschiedener Apatite um zu zeigen, wie *Achsenverhältnis* und *Doppelbrechung* ( $\Delta$ ) von einander abhängig sind:

	$\tilde{c}$	$\Delta$
55. Synt. Chlorapatit .....	0.7038 .....	0.0053
66. Rossa, Val Devero .....	0.7297 .....	0.0054
Val Malenco <sup>1</sup> .....	0.7286 .....	0.0053
67. Katzenbuckel, Odenw. ....	0.7315 .....	0.0048
52. Rothenkopf, Zillertal .....	0.7313 .....	0.0043
12. Jumilla, Murcia .....	0.7326 .....	0.0042
42. 47. Malmberget, Gellivare .....	0.7320 .....	0.0038
64. Laacher, See .....	0.7330 .....	0.0033
52. Göschenen .....	0.7340 .....	0.0027
12. 52. St. Gotthard .....	0.7342 .....	0.0025
52. Schöllenen .....	0.7344 .....	0.0024
40. Auburn, Maine .....	0.7348 .....	0.0019
50. Luxullian, Cornwall .....	0.7351 .....	0.0017

Aus dieser Übereinstimmung gibt es freilich viele Ausnahmen, die aber nicht so bedeutend sind, dass die Regel nicht gültig sei. Die abweichenden Werte können ja teils in einer ungenügenden Anzahl von Messungen oder in einer nicht immer gleich scharfer Ausbildung der Kristalle ihre Ursache haben.

Weiter unten teile ich eine andere Tabelle mit, die das Achsenverhältnis in seiner Beziehung zu F, Cl und anderen Bestandteilen zeigt. Sie stellt eigentlich nur eine Ergänzung der oben genannten Tabelle von Wolff und Palache dar, in der teils ältere teils neuere aus der Literatur entnommene Daten mitgenommen sind.

<sup>1</sup> L. Magistretti: Osserv. Rend. R. Acc. dei Lincei. Ser. 5. Vol. XIX. Roma 1910.



Uebersicht über die Achsenverhältnisse der Apatite und die wichtigsten in dieser Beziehung beeinflussenden Bestandteile (Gew. %).

Fundort	c	F	Cl	»Tot. FeO»	MnO	»Tot. Na <sub>2</sub> O»
Prinzenstein, St Goar <sup>1</sup> .....	0.7357	2.19	0.02	0.02	0.01	0.24
40. Auburn, Maine .....	0.7348	2.38	—	0.30	0.85	0.54
12. Ehrenfriedersdorf .....	0.7346	2.27	—	—	—	—
25. Pisek, Böhmen .....	0.7346	3.56	Sp.	—	Sp.	—
10. Takowaja, Ural .....	0.7346	4.20	0.01	—	Sp.	—
28. Turkestan .....	0.7345	3.64	—	—	—	—
12. St Gotthard .....	0.7342	—	0.028	—	—	—
36. Västana, Schonen .....	0.7340	3.74	Sp.	—	5.95	—
52. Göschenen .....	0.7340	3.63	0.01	—	—	—
16. Floitental, Zillertal .....	0.7340	—	—	—	—	—
28. Schwarzenstein .....	0.7340	—	Sp.	—	—	—
50. Epprechtstein, Bayern .....	0.73381	2.41	0.04	0.45	0.79	1.63
12. Blagodät, Ural .....	0.7337	—	0.22	—	—	—
18. Nordmarken, Schweden .....	0.73365	3.07	0.05	—	0.06	—
50. Luxullian, Cornw. ....	0.73357	2.60	0.07	0.21	0.39	1.82
46. Gletsch, Rhonegl. ....	0.73353	2.93	Sp.	0.35	0.39	0.83
62. Sunk, Steierr. ....	0.73341	3.02	—	0.08	—	—
52. Knappenwand, Untersulzb. T. ....	0.73333	3.63	0.028	0.39	—	—
64. Laacher See .....	0.73306	1.64	0.16	0.63	—	2.70
66. Arbola, Val Devero .....	0.73293	—	Sp.	—	—	—
12. Jumilla, Murcia .....	0.7326	N.b.	0.557	—	—	—
63. Nordmarken, Schweden .....	0.7326	3.07	0.05	—	0.06	—
12. Kirjabinisk .....	0.7325	—	Sp.	—	—	—
43. Biella .....	0.73228	—	—	—	—	—
42. 47. Malmberget, Gellivare .....	0.7320	3.67	0.19	0.24	—	—
67. Katzenbuckel, Odenw. ....	0.7315	2.23	0.83	0.11	1.76	0.38
28. Ala, Piemont .....	0.7313	—	—	—	—	—
28. Rothenkopf .....	0.7313	—	0.085	—	—	—
66. Rossa, Val Devero .....	0.72975	Sp.	0.05	—	—	N.b.
1. Laacher See .....	0.7294	—	—	—	—	—
12. Achmatowsk, Ural .....	0.7294	N.b.	0.51	—	—	—
Val Malenco <sup>2</sup> .....	0.72867	—	Sp.	—	—	—
Combe di Compare <sup>3</sup> .....	0.7284	—	—	—	—	—
67. Blaue Kuppe, Eschw. ....	0.7246	1.18	2.06	0.85	Sp.	Sp
72. Synt. CaCl <sub>2</sub> : Apatit .....	0.7038	—	6.8	—	—	—
» » » <sup>4</sup> .....	0.6983	—	6.8	—	—	—

<sup>1</sup> A. Sachs: Centralbl. 1. Min. etc. 1903. Pag. 420.

<sup>2</sup> L. Magistretti: L. c. Pag. 51.

<sup>3</sup> G. Boeris: Atti della R. Acc. di Sc. di Torino. 34. 1899.

<sup>4</sup> A. de Schultén: Compte Rendu de l'Acad. d. Sc. Paris. 1911. 152.



Aus dieser Tabelle kan man folgendes entnehmen:

Der Wert der Achse  $c$  schwankt zwischen recht verschiedenen Grössen, 0.7357 und 0.7028 (oder eig. 0.6983), und zwischen diesen beiden Extremen findet man alle möglichen Übergangswerte. Dies ist schon eine recht beträchtliche Variationsbreite (0.0319 resp. 0.0374). Betrachten wir die am meisten voneinander abweichenden Apatite näher, finden wir, dass die mit den grösseren Werten von  $c$  ausgeprägte Fluorapatite, während die mit den niedrigeren Werten fluorarme, z. T. recht chlorreiche Apatite sind. Den minimalsten Wert hat der künstlich dargestellte reine Chlorapatit. Leider war es mir nicht möglich Messungswerte von den norwegischen Chlorapatiten zu bekommen (Kragerö, Bamle, Snarum). Ein Versuch des Verfassers den Fundamentalwinkel ( $c:x$ ) an einem Snarumapatitkristall (mit schimmernden Flächen) zu messen, ergab etwas schwankende Werte, deren Mittel einem Achsenverhältnis von  $1:0.702$  entspricht. Dieses würde sich dem des reinen, syntetischen  $\text{CaCl}_2$ : Apatits nähern. Immerhin zeigt eine alte Analyse von G. R o s e eines Apatits aus demselben Fundorte einen Cl: Gehalt von 2.5 %, die analysierte Substanz war aber nur »kristallinisch«. Andere Analysen von V o e l c k e r beziehen sich auf Apatite, deren Herstattungsorte kurzweg als »Norwegen« bezeichnet worden sind.

Unter den Apatiten die höhere oder mässige Werte der  $c$ : Achse aufweisen, hat man einige mit nicht hinreichendem Gehalt an F. Sie zeigen aber, wie aus der Tabelle hervorgeht, gleichzeitig einen Gehalt an Alkalien, der das »Defizit« also erklärt.

Wie ersichtlich, umfasst die Tabelle in der Hauptsache recht ausgeprägte Fluorapatite, und der Chlorgehalt ist dabei meistens sehr unbedeutend. Achmatowsk kann wohl als die untere Grenze dieser mehr normalen Apatite angesehen werden. Die wenigen Apatite, die unten folgen, sind z. T. ausgeprägte Chlorapatite. Bei diesen ist aber schon der Wert der  $c$ : Achse erheblich niedriger, am niedrigsten bei dem synte-



tischen  $\text{CaCl}_2$ :Apatit. Chlorapatite sind also durch eine bedeutend niedrigere  $c$ :Achse charakterisiert. Die Schwankungen unter den mehr »normalen« Apatiten sind in der Tat nicht sehr gross. Maximale Abweichung beträgt nur 0.0063. Dagegen ist der Unterschied der  $c$ :Werte zwischen Achmatowsk und dem syntetischen  $\text{CaCl}_2$ :Apatit nicht weniger als 0.0311, d. h. beinahe fünfmal so gross.

Normale fluorhaltige (alkalifreie und alkaliführende) Apatite haben also einen  $c$ :Achsenwert, der zwischen 0.7357 und 0.7294 liegt oder einen mittleren Wert von 0.7325.<sup>1</sup>

## V.

### VERSUCH EINER EINTEILUNG DER NATÜRLICHEN APATITE.

In den Lehrbüchern findet man, wie in der historischen Einleitung bereits erwähnt worden ist, verschiedene Apatittypen aufgestellt, und zwar wie natürlich auf chemischer Grundlage. In Doelter's Handbuch der Mineralchemie ist dementsprechend auch das ganze Analysenmaterial aufgeteilt: in Fluorapatite, Fluorchlorapatite, Chlorfluorapatite, Chlorapatite, Manganapatite u. s. w. Die Einteilungsgründe scheinen aber etwas willkürlich zu sein. So findet man z. B. in einem »Chlorfluorapatit«, dass die Menge des Cl der anderen Nebenbestandteilen gegenüber sehr unbedeutend sein kann. Man könnte in einem solchen Fall eher z. B. von »Fluornatriumapatit« oder von »Fluoraluminiumapatit« reden.

Im Folgenden werden wir nun versuchen einen Einteilungsgrund durchzuführen, der die verschiedenen chemischen Gruppen nicht nur einigermaßen scharf erfasst, sondern auch die betreffenden Apatite

<sup>1</sup> N. v. Kokscharow giebt für »reinen F:Apatit« 0.734603 an. Dieser Wert wird meistens in den Handbüchern angeführt.



in Bezug auf die physikalischen, besonders optischen Eigenschaften besser charakterisiert.

1. *Fluorapatite* —. Diese sind bekanntlich die in der Natur am gewöhnlichsten, die paragenetischen Verhältnisse mögen auch ganz verschiedenartig sein. Unter allen aus der Literatur entnommenen Analysen zeigt ungefähr die Hälfte mehr als 75 % der theoretischen Totalsumme des F (= 3.8 % = 100 %). Dann folgen die Apatite mit einem F-Gehalt, der zwischen den Werten 75—50 % der teor. Totalsumme variiert. Selten sind Apatite, die einen F-Gehalt unter 50 % aufweisen. Sie fallen meistens in eine andere Gruppe, die Alkaliapatite (s. u.). Chlorgehalt ist bei diesen Apatiten durchgehend sehr gering, wie man aus dem Diagramm Fig. 3 entnehmen kann. Meistens bleibt er weit unter 1 % der teor. Totalsumme für Cl. — Die optischen Verhältnisse bei den ausgesprochenen Fluorapatiten nähern sich denjenigen des syntetisch reinen  $\text{CaF}_2$ :Apatits. Die Abweichungen, die vorhanden sind, beruhen hauptsächlich auf das Auftreten von Substituenten unter den basenbildenden Elementen (Mn, Fe, Mg etc.). Lichtbrechung ist bei den normalen  $\text{CaF}_2$ :Apatiten ung. 1.6325 <sub>Na</sub> für den ordinären Strahl, Doppelbrechung ung. 0.0030. Das spez. Gewicht ist für diese ausgesprochenen Fluorapatite meistens 3.180—3.200. Kleinere Mengen anderer Elemente als Substituenten des Ca erhöhen leicht den Wert dieser Konstante. In Bezug auf das Achsenverhältnis hat man mit dem Mittelwert des c — 0.7325 zu rechnen.<sup>1</sup>

2. *Alkalihaltige Apatite* —. Diese Gruppe von Apatiten ist chemisch dadurch charakterisiert, dass F unzureichend ist um das Ca zu sättigen. Man hat also, wenn man die Formel ausgerechnet hat, immer einen Überschuss von Ca — als CaO geschrieben — erhalten. Apatite mit dieser Verbindung hat man 'Voelckerite' genannt und als ein Endglied der isomorphen Mischungsreihen angenommen. Nimmt man auf den bei diesen Apatiten immer vorhandenen Gehalt an Alkalien Rücksicht, verschwindet dieser »Überschuss« des CaO, wie die Bei-

<sup>1</sup> Achsenverh. des reinen synt.  $\text{CaF}_2$ :Ap. ist nicht bestimmt worden.



spiele oben gezeigt haben. Die Menge des F bei den chlorfreien Apatiten steht also zur Menge der Alkalien in reziprokem Verhältnis: mit abnehmendem Gehalt an F nimmt der Gehalt an Alkalien zu. Teoretisch maximaler Gehalt an  $\text{Na}_2\text{O}$  ist = 3.18 %, wobei  $\text{F} = 1.95$  %.

In optischer Beziehung bieten die alkalihaltigen Apatite wenig abweichendes. Die Lichtbrechung ist ungefähr dieselbe wie bei den  $\text{CaF}_2$ : Apatiten. Die Doppelbrechung wird mit zunehmendem Gehalt an Alkalien erniedrigt — der Brechungsexponent des extraordinären Strahls weist höhere Werte auf. Basische Substituenten in der Hauptmolekel können jedoch zu abweichenden Werten führen. Achsenverhältnisse sind dieselben wie bei den Fluorapatiten.

Wie verbreitet diese Gruppe von Apatiten in der Natur ist, weiss man noch nicht näher, ungeachtet der umfassenden Analysenangaben über Apatite in der Literatur. Denn die Alkalien sind ja immer als zufällige Nebenbestandteile betrachtet worden und wahrscheinlich teilweise vernachlässigt, besonders bei den älteren Analysen.

3. Chlorapatite —. Diese Gruppe von Apatiten, die schon G. Rose aufstellte, ist in der Natur wie früher hervorgehoben, viel seltener, wie auch aus dem statistischen Diagramm Fig. 2 ersichtlich ist. Ihr Vorkommen beschränkt sich, so viel man weiss, hauptsächlich auf das südliche Norwegen, aus dessen Apatiten gerade die ältesten Analysen stammen. Chlorhaltige Apatite sind wohl viele, aber, wie die statistische Kurve im Diagramm Fig. 2 lehrt, haben die meisten nur ganz wenig Cl (unter 0.5 %) und können folglich nicht als Chlorapatite bezeichnet werden. Die untere Grenze des Cl: Gehaltes bei den Chlorapatiten könnte man bei ung. 30 % der teor. Totalsumme des Cl (6.8 %) verlegen. Denn bei Apatiten, die so viel oder mehr Cl haben, ist schon die Lichtbrechung beträchtlich höher — 1.6447  $n_a$  bis 1.6667  $n_a$  für den ordinären Strahl. Von Chlorapatiten, die mehr als 50 % teor. der Totalsumme von Cl aufweisen, habe ich in der Literatur insgesamt nur 5 gefunden. Dazu gehören gerade die norwegischen. — Achsenverhältnis der ausgeprägten  $\text{CaCl}_2$ : Apatite ist ziemlich verschieden von dem des  $\text{CaF}_2$ : Apatits, 1 : 0.7246 bis 1 : 0.7038 (synt.



$\text{CaCl}_2$ : Apatit). In Übereinstimmung damit ist die Doppelbrechung höher, bis 0.0053, wie aus der Tabelle Seite 38 hervorgeht.

Ausgeprägte  $\text{CaF}_2$ - $\text{CaCl}_2$ : Mischungsapatite, d. h. solche, die ung. zur Hälfte von der einen und von der anderen Apatitverbindung bestehen, gibt es in der Natur nur ganz wenige. Überhaupt fehlt ein Bestreben des Cl das F isomorph zu vertreten. Dieser Umstand geht ja klar genug aus dem Diagramm Fig. 3 hervor.

4. K a r b o n a t a p a t i t e.— Schon lange ist man dessen bewusst, dass viele Apatite einen grösseren oder kleineren Gehalt an  $\text{CO}_2$  aufweisen. Bei trüben Apatiten liegt der Verdacht nahe, dass die Kohlensäure sekundär eingewandert sei, es hat sich aber gezeigt, dass auch ganz unverwitterte Apatite  $\text{CO}_2$  neben den Halogenen führen können. Sie sind also näher als Karbonathalogenidapatite zu bezeichnen. Die Werte des  $\text{CO}_2$  bei verschiedenen solchen Apatiten findet man in der Tabelle Seite 21. Wie man sieht, liegt der Wert meistens unter 1 %. Es ist möglich, dass noch eine grosse Anzahl derartiger Apatite entdeckt wird, denn auf Gegenwart von  $\text{CO}_2$  hat man früher wohl oft nicht Acht gegeben oder einfach als »Glühverlust« angegeben. — Über die Einwirkung des immerhin nicht grossen  $\text{CO}_2$ : Gehaltes auf die optischen Eigenschaften liegen bis jetzt keine nähere Untersuchungen vor. Dasselbe gilt in Bezug auf die morphologischen Eigenschaften.

Es wird angenommen, dass das  $\text{CaCO}_3$ : Apatitmolekel die Halogenidapatitmolekeln vertreten kann, wie die syntetischen Versuche von Carnot auch gezeigt haben.

Ausser diesen karbonathaltigen Apatiten giebt es noch solche, die nur aus  $\text{CaCO}_3$ : Apatit bestehen, teils mit, teils ohne Konstitutionswasser. Den reinen syntetischen Karbonatapatit stellte Eitel dar. Sein Gehalt an  $\text{CO}_2$  ist 4.31 %. Dazu kommen die natürlichen, wohl meistens wasserhaltigen Apatite, Dahllit u. a., die bis 8.26 %  $\text{CO}_2$  vermutlich als saures Karbonat führen. Die physikalischen Eigenschaften dieser apatitähnlichen Mineralien sind etwas andere. Die Lichtbrechung ist schwankend:  $\omega$  1.634<sub>Na</sub> bis 1.616<sub>Na</sub>. Die Doppelbrechung



ist hoch — 0.007 bis 0.016. Dasselbe gilt auch vom reinen synt. Karbonatapatit (0.009).

5. *Sulfatapatit* —. Diesen Typus stellte Brauns fest. Das Vorkommen ist Laacher See und der Gehalt des Minerals an  $\text{SO}_3 = 1.13\%$  (neben den Halogenen). Es liegt also eine isomorphe Mischung vor, wo  $\text{CaSO}_4$  die Halogenide teilweise vertritt. Der Gehalt an Alkalien ist bemerkenswert.

6. *Hydroxylapatit* —. Existenz als primäre Verbindung in den eigentlichen Apatiten ist fraglich.  $\text{H}_2\text{O}$  in den Analysen ist jedenfalls oft vorhanden. In dem oben erwähnten Dahllittypus ist das Wasser wohl als Konstitutionswasser aufzufassen.

7. *Manganapatite* —. Diese Gruppe von Apatiten, schon in Doelter's Handbuch der Mineralchemie angegeben, ist ein Beispiel der Isomorphie innerhalb des Hauptmolekels, indem das  $\text{CaO}$  von  $\text{MnO}$  mehr oder weniger ersetzt wird. Der Gehalt an  $\text{MnO}$  kann sich bis  $10.59\%$  steigern (Branchville, Conn). Aus der Literatur sind im Allen 9 Manganapatite zu entnehmen, die alle bis über ung.  $1.80\%$   $\text{MnO}$  führen. Die Einwirkung dieses Bestandteiles auf die physikalischen Eigenschaften ist deutlich. Das spez. Gewicht wird merklich gesteigert — bis 3.41 (Nagpur, Indien), und auch die optischen Konstanten sind andere im Vergleich mit den mehr normalen Apatiten. So ist die Lichtbrechung des ord. Strahls  $1.6390_{\text{Na}}$  bis 1.6570. Die Doppelbrechung ist auch gesteigert (bis 0.007 bei New Ross).

8. *Apatite mit seltenen Erden* —. Diejenigen Erdmetalle, die hierbei als die gewöhnlichsten in isomorpher Vertretung des Ca längst nachgewiesen worden sind, sind Ce, Y, La und Di. Ihre Verbreitung scheint eine recht beträchtliche zu sein, besonders in Verbindung mit pneumatolytischen Bildungen alkaliner Magmen. Isomorphe Mischungen von Ca:Phosphat und Ce:Phosphat stellte Zambonini syntetisch dar. Die optischen Verhältnisse solcher Apatite sind noch nicht untersucht. Wie einige oben angeführte Beispiele zeigen, hat der Ce: Gehalt einen deutlichen Einfluss auf das spez. Gewicht.



# VERZEICHNIS DER BENUTZTEN LITERATUR.<sup>1</sup>

1. 1827 — G. Rose: Ueber die chemische Zusammensetzung des Apatits. Poggendorffs Annalen. IX. Pag. 185.
2. 1841 — C. F. Rammelsberg: Handwörterbuch des chemischen Teils der Mineralogie. Erste Abteilung. Berlin. Pag. 34.
3. 1846 — Wöhler: Ueber den Kryptolith. Pogg. Ann. LXVII.
4. 1854—57 — N. von Kokscharow: Materialien zur Mineralogie Russlands. Band II.
5. 1858 — A. E. Arppe: Analyser af finska mineral. II. Acta Societatis scientiarum Fennicae. Tom. V.
6. 1858 — N. von Kokscharow: Materialien z. Min. Russl. Band III.
7. 1860 — C. F. Rammelsberg: Handbuch der Mineralchemie.
8. 1860 — A. Schrauf: Bestimmung der optischen Konstanten krystallisierter Körper. Sitzungsberichte der k.k. Akademie der Wissensch. in Wien. Band XLII.
9. 1862 — J. A. Voelcker: Jahresberichte für Chemie.
10. 1862 — Pl. Pusirewsky: Ueber einige russische Apatite. Verhandl. der kais. Gesellsch. für die gesammte Mineralogie zu St Petersburg.
11. 1863 — A. E. Nordenskiöld: Beskrifning öfver de i Finland funna Mineralier. Helsingfors.
12. 1866 — N. von Kokscharow: Materialien z. Min. Russl. V. Sechster Anhang zum Apatit.
13. 1879 — G. Chr. Hoffmann: Report, Geol. Survey, Canada. (Analysen kanadischer Apatite).
14. 1880 — S. L. Penfield: Analyses of some Apatites containing Manganese. Amer. Journ. of Science. Vol. XIX.
15. 1882 — A. Weisbach: Mineralogische Notizen. 9. Apatit. Neues Jahrb. für Mineralogie, etc. 2.
16. 1883 — A. Schmidt: Apatit von Tavetsch und Floitental. Zeitschrift für Kristallographie. Band VII.
17. 1883 — J. A. Voelcker: Die chemische Zusammensetzung des Apatits, erschlossen an zahlreichen eigenen, vollständigen Analysen und ausgedrückt durch eine abgeänderte Apatitformel. Inaugural Dissert. Giessen. Ref. in: Zeitschr. f. Krist. Band XI. 1886.

<sup>1</sup> Das Verzeichnis macht keinen Anspruch an Vollständigkeit. (Siehe weiter unter N:ris 65 u. 74.).



18. 1886 — G. Flink: Mineralogiska notiser I. 9. Apatit från Nordmarken. Bihang till k. svenska Vetenskapsakademiens Handlingar. Band XII. Afd. II. N:o 2.
19. 1887 — R. H. Solly: Francolite, a Variety of Apatite from Levant Mine, St. Just, Cornwall. Pag. 57. Apatite from a New Locality in Eastern Cornwall. Pag. 141. Min. Magazine. Vol. VII.
20. 1887 — H. Robinson: Two Analyses of Crystals of Apatite. Ibidem. Pag. 59. (Kohlensäurehaltige Apatite).
21. 1887 — H. Baumhauer: Ueber die Abhängigkeit der Ätzfiguren des Apatits von der Natur und Konzentration des Ätzmittels. Sitz. ber. der Akademie der Wissensch. zu Berlin. XLII.
22. 1888 — W. C. Brögger und H. Bäckström: Ueber Dahllit, ein neues Mineral von Ödegaarden, Bamle, Norwegen. Öfversigt af k. sv. Vetenskapsakad. Förhandl. N:o 7.
23. 1889 — A. W. Stelzner: Ueber die Zusammensetzung des als Uebergemengteil in Gneiss und Granit auftretenden Apatites. Briefwechsel. Neues Jahrb. f. Min. etc. Pag. 265. Band I.
24. 1889 — J. L. Hoskyns Abrahall: Ueber die Zusammensetzung des Apatits. Inaug. Dissert. Ref. in: Zeitschr. f. Krist. Band XXI.
25. 1889 — C. Wrb a: XXV. Mineralogische Notizen V. 25. Apatit von Pisek. Ibidem. Band XV.
26. 1890 — G. Nordenskiöld: Om mineral från drushål vid Taberg i Vermeland. Geol. Fören. i Stockh. Förhandl. Band XII, 5. Apatit.
27. 1890 — H. Baumhauer: Ueber die Abhängigkeit der Ätzfiguren des Apatits von der Natur und Konzentration des Ätzmittels. 2 Mitteilung. Sitz. ber. der k. preuss. Akademie der Wiss.
28. 1891 — » » Ueber die Winkelverhältnisse des Apatits von verschiedenen Fundorten. Zeitschr. f. Krist. Band XVIII.
29. 1894 — P. Jannasch und J. Loche: Analyse eines Apatits aus grossblättrigem Graphit von Ceylon. Zeitschr. f. anorganische Chemie. Band VII. Ref. in: Zeitschr. f. Krist. Band XXVI.
30. 1894 — K. Zimanyi: Die Hauptbrechungsexponenten der wichtigsten Gesteinsbildenen Mineralien bei Na: Licht. Zeitschr. f. Krist. Band XXII.
31. 1894 — A. Karnojitzky: Ueber Apatite des Berges Blagodat. Verhandl. der russ. k. mineralog. Gesellsch. Band XXXI.
32. 1896 — A. Carnot: Sur les variations observées dans la composition des » » Apatites. Bull. Soc. franç. de Minéralogie. Tome XIX.
33. 1886 — » » Sur une Apatite bleue de Montébras. Ibidem. Pag. 214.
34. 1896 — E. Weinschenk: Die Minerallagerstätten des Gross-Venedigerstockes in den Hohen Tauern. 43. Apatit. Zeitschr. f. Krist. Band XXVI.
35. 1897 — C. F. Rammelsberg: Die Formel des Apatits. Neues Jahrb. f. Min. etc. 2. Pag. 38.
36. 1898 — Mats Weibull: Om några Vestanå mineral. 2. Kristaller af manganapatit. Geol. Fören. i Stockh. Förhandl. Band XX.
37. 1900 — Fr. Grünling: Ueber die Mineralvorkommen von Ceylon. Zeitschr. f. Krist. Band XXXIII.



38. 1901 — F. Slavík: Abhandlungen der böhmischen Akademie der Wissensch.
39. 1902 — H. L. Bowman: On an Occurrence of Minerals at Haddam Neck, Conn. U. S. A. Mineralogical Magazine. Vol. XIII. Pag. 111.
40. 1902 — J. E. Wolff und Ch. Palache: Ueber Apatit von Minot (Auburn) Maine. Zeitschr. f. Krist. Band XXXVI.
41. 1902 — A. Osann: Notes on certain Archaean Rocks of the Ottawa Valley. Geol. Survey of Canada. Ann. Rep. Vol. XII.
42. 1904 — K. Zimanyi: Ueber den grünen Apatit von Malmberget in Schweden. Zeitschr. f. Krist. Band XXXIX.
43. 1905 — F. Zambonini: Ueber die Drusenminerale des Syenits der Gegend von Biella. Ibidem. Band XL.
44. 1905 — K. Zimanyi: Ueber die Lichtbrechung des Fluorapatits von Pisek. Ibidem.
45. 1906 — W. C. Brögger: Hellandit von Ludvigskollen bei Kragerö, Norwegen. Ibidem. Band XLII.
46. 1906 — K. Busz: Apatit und Milarit von Gletsch am Rhône-gletscher in der Schweiz. Zentralbl. f. Min. etc.
47. 1907 — W. Pettersson: Apatit von Malmberget. (bei O. Stutzer) Neues Jahrb. f. Min. etc. Beil. Band XXIV. Pag. 639.
48. 1907 — W. Tschirwinsky: Podolit, ein neues Mineral. Zentralbl. f. Min. etc.
49. 1907 — A. Werner: Berichte d. deutsch. chem. Gesellsch. Band XL. Pag. 4448.
50. 1907 — Karl Walter: Über Apatit von Epprechtstein in Bayern und von Luxullian in Cornwall. Neues Jahrb. f. Min. etc. Beil. Band XXIII.
51. 1908 — Fr. Puppe: Die optischen Anomalien des Apatits. Inaugural Dissertation. Bonn.
52. 1908 — H. Baumhauer: Über die Brechungsexponenten und die Doppelbrechung des Apatits von verschiedenen Fundorten. Zeitschr. f. Krist. Band XLV.
53. 1909 — L. Leigh Fermor: The Manganese Ore Deposits of India. Memoir of the Geol. Survey of India. Vol. XXXVII. 1.
54. 1910 — A. Lacroix: Minéralogie de la France et ses colonies. Tome IV. 2.
55. 1912 — R. Nacken: Über die Bildung des Apatits. I. Zentralbl. f. Min. etc.
56. 1912 — Austin F. Rogers: Dahllite from Tonopah, Nevada, etc. Amer. Journ. of Science. Vol. XXXIII.
57. 1912 — V. Dürrfeld: XXXIX. Mitt. aus dem Min. Inst. d. Univ. Strassburg. Zeitschr. f. Krist. L.
58. 1912 — W. T. Schaller: Mineralogical Notes. Series 2. United States Geol. Survey. Bulletin 509.
59. 1913 — Austin F. Rogers: Dahllite von Tonopah, Nevada; Voelckerit, ein neues basisches Calciumphosphat. Bemerkungen über die chemische Zusammensetzung von Apatit und Phosphorit. Zeitschr. f. Krist. Band LII.
60. 1913 — V. Goldschmidt: Atlas der Kristallformen. I Band. Heidelberg.
61. 1914 — Austin F. Rogers: A new Locality for Voelckerite and its Validity as a Mineral Species. Min. Magaz. Vol. XVII.



62. 1915 — O. Grosspietsch: Apatit aus dem Mangesitbruch im Sunk, Steiermark. Zeitschr. f. Krist. Band LIV.
63. 1916 — K. A. Grönwall: Undersökningar öfver svenska apatiter. Geol. Fören. i Stockh. Förhandl. Band XXXVIII.
64. 1917 — R. Brauns: Über den Apatit aus dem Laacher-See Gebiet. Sulfatapatit und Carbonatapatit. Neues Jahrb. f. Min. etc.
65. 1918 — M. Seebach: Calciumphosphate. Apatit, in: C. Doelter: Handb. der Mineralchemie III. 1.
66. 1919 — A. Bianchi: Apatite di Val Devero (Ossola). Atti della Società Italiana di Scienze nat. Vol. 58.
67. 1920 — P. Ramdohr: Über die Blaue Kuppe bei Eschwege und benachbarte Basaltvorkommen. Jahrbuch d. k. preuss. Geol. Landesanst. Band XL.
68. 1920 — O. B. Bøggild: Dahllit von Kangerdluarsuk. Meddelelser om Grønland. LI.
69. 1922 — H. v. Eckermann: The Rocks and Contact Minerals of the Mansjö Mountain. Geol. Fören. i Stockh. Förhandl. Band XLIV.
70. 1922 — A. Lacroix: Minéralogie de Madagascar. Paris. Tome I.
71. 1923 — R. Abbrard: Présence de l'apatite dans les pegmatites des environs de Dinard. Bull. Soc. Franc. de Min. Tome XLVI.
72. 1923 — F. Zambonini: Über Mischkristalle, welche die Verbindungen des Calciums, Strontiums, Bariums und Bleis mit jenen der seltenen Erden bilden. Zeitschr. f. Krist. Band LVIII.
73. 1923 — V. M. Goldschmidt: Geochemische Verteilungsgesetze der Elemente. Videnskabselskabets Skrifter. I. Mat. naturw. Kl. N:o 4.
74. 1924 — Karl Mieleitner: Halogenhaltige, wasserfreie Phosphate etc. C. Hintze: Handb. der Mineralogie. I. Lief 22.
75. 1924 — T. L. Walker and A. L. Parsons: Pegmatite Minerals from New Ross, Nova Scotia. Contributions to Canadian Mineralogy.
76. 1924 — J. Starynkewiç Borneman: Sur la présence des terres rares dans les apatites. Compte rendu de l'Académie des Sciences de Russie.
77. 1924 — A. Fersmann: Sur la présence des terres rares dans les apatites des gisements divers. Ibidem.
78. 1925 — Gunnar Pehrman: Om en apatitförekomst i Åbo. Fennia XLV. 13.
79. 1925 — E. V. Shannon and E. S. Larsen: Merrillite and Chlorapatite from Stony Meteorites. American Journal of Science. Vol. IX.
80. 1925 — Н. Н. Гутковой: Апатиты Хибинских Тундр. Известия Росс. Акад. Наук.
81. 1925 — P. Niggli und K. Fácshy: Die Apatitgruppe und ihre Verwandten. VIII Auszüge. Zeitschr. f. Krist. Band LXII.
82. 1925 — W. Eitel: Karbonatapatite. Schr. d. k. gelehrten Gesellsch. zu Königsberg. Nat. wiss. Kl. I. 4.
83. 1926 — R. L. Parker: Studien am Apatit vom St Gotthard. Zeitschr. f. Krist. Band LXIV.















